

Министерство науки и высшего образования  
Российской Федерации

Федеральное государственное бюджетное образовательное  
учреждение высшего образования  
**ТОМСКИЙ ГОСУДАРСТВЕННЫЙ УНИВЕРСИТЕТ  
СИСТЕМ УПРАВЛЕНИЯ И РАДИОЭЛЕКТРОНИКИ  
(ТУСУР)**

Кафедра автоматизированных систем управления (АСУ)

**В. В. Романенко**

## **ЧИСЛЕННЫЕ МЕТОДЫ**

**Учебно-методическое пособие по лабораторным  
работам и самостоятельной работе студентов**

Томск  
2024

**УДК** 519.6

**ББК** 22.19

Р–69

**Рецензент:**

Исакова А. И., доцент кафедры автоматизированных систем управления ТУСУР, канд. техн. наук

**Романенко, Владимир Васильевич**

Р–69 Численные методы: учебно-методическое пособие по лабораторным работам и самостоятельной работе студентов / В. В. Романенко. – Томск : Томск. гос. ун-т систем упр. и радиоэлектроники, 2024. – 100 с.

Учебно-методическое пособие предназначено для студентов, изучающих дисциплину «Численные методы», и содержат все материалы, необходимые для выполнения лабораторных работ, а также организации самостоятельной работы: описание вычислительных алгоритмов и требуемого формата входных и выходных данных для программ, реализующих задания на лабораторные работы, образец титульного листа и рекомендуемую структуру отчета по лабораторным работам, а также дополнительные материалы, описывающие способы форматирования выходных данных в различных языках программирования, программной обработки заданных в аналитическом виде функций и методы работы с приближенными числами.

Одобрено на заседании кафедры автоматизированных систем управления (АСУ), протокол № 11 от 23.11.2023 г.

УДК 519.6

ББК 22.19

© Романенко В. В., 2024

© Томск. гос. ун-т систем упр. и радиоэлектроники, 2024

# ОГЛАВЛЕНИЕ

<b>ВВЕДЕНИЕ.....</b>	<b>6</b>
<b>1 РЕШЕНИЕ УРАВНЕНИЙ С ОДНОЙ ПЕРЕМЕННОЙ .....</b>	<b>11</b>
<b>1.1 МЕТОДЫ РЕШЕНИЯ.....</b>	<b>13</b>
1.1.1 Интервальные методы .....	13
1.1.2 Итерационные методы.....	15
1.1.2 Комбинированный метод .....	17
<b>1.2 ФОРМАТ ВХОДНЫХ ДАННЫХ.....</b>	<b>18</b>
<b>1.3 ФОРМАТ ВЫХОДНЫХ ДАННЫХ.....</b>	<b>18</b>
<b>2 РЕШЕНИЕ ЗАДАЧ ЛИНЕЙНОЙ АЛГЕБРЫ.....</b>	<b>19</b>
<b>2.1 МЕТОДЫ РЕШЕНИЯ.....</b>	<b>20</b>
2.1.1 Метод Гаусса .....	21
2.1.2 Метод декомпозиции .....	23
2.1.3 Метод ортогонализации.....	24
2.1.4 Метод простой итерации .....	26
2.1.5 Метод Зейделя .....	27
2.1.6 Вычисление обратных матриц .....	27
<b>2.2 ФОРМАТ ВХОДНЫХ ДАННЫХ.....</b>	<b>28</b>
<b>2.3 ФОРМАТ ВЫХОДНЫХ ДАННЫХ.....</b>	<b>28</b>
<b>3 ВЫЧИСЛЕНИЕ СОБСТВЕННЫХ ЧИСЕЛ И СОБСТВЕННЫХ</b>	
<b>ВЕКТОРОВ .....</b>	<b>30</b>
<b>3.1 МЕТОДЫ РЕШЕНИЯ.....</b>	<b>30</b>
3.1.1 Вычисление собственных чисел методом	
Данилевского .....	31
3.1.2 Вычисление собственных векторов методом	
Данилевского .....	32
3.1.3 Определение кратности собственных чисел и	
векторов.....	33
<b>3.2 ФОРМАТ ВХОДНЫХ ДАННЫХ.....</b>	<b>34</b>
<b>3.3 ФОРМАТ ВЫХОДНЫХ ДАННЫХ.....</b>	<b>35</b>

<b>4 РЕШЕНИЕ СИСТЕМ НЕЛИНЕЙНЫХ УРАВНЕНИЙ .....</b>	<b>36</b>
<b>4.1 МЕТОДЫ РЕШЕНИЯ.....</b>	<b>37</b>
4.1.1 Метод Ньютона .....	37
4.1.2 Метод итераций.....	38
4.1.3 Метод наискорейшего спуска .....	38
<b>4.2 ФОРМАТ ВХОДНЫХ ДАННЫХ.....</b>	<b>39</b>
<b>4.3 ФОРМАТ ВЫХОДНЫХ ДАННЫХ.....</b>	<b>40</b>
<b>5 ИНТЕРПОЛИРОВАНИЕ И ЧИСЛЕННОЕ</b>	
<b>ДИФФЕРЕНЦИРОВАНИЕ ФУНКЦИЙ .....</b>	<b>41</b>
<b>5.1 МЕТОДЫ РЕШЕНИЯ.....</b>	<b>46</b>
5.1.1 Полином Ньютона.....	47
5.1.2 Полином Лагранжа.....	49
<b>5.2 ФОРМАТ ВХОДНЫХ ДАННЫХ.....</b>	<b>50</b>
<b>5.3 ФОРМАТ ВЫХОДНЫХ ДАННЫХ.....</b>	<b>51</b>
<b>6 ПРИБЛИЖЕНИЕ СПЛАЙНАМИ.....</b>	<b>52</b>
<b>6.1 МЕТОДЫ РЕШЕНИЯ.....</b>	<b>53</b>
6.1.1 Линейные сплайны.....	54
6.1.2 Параболические сплайны .....	54
6.1.3 Кубические сплайны .....	55
6.1.4 Метод прогонки.....	57
<b>6.2 ФОРМАТ ВХОДНЫХ ДАННЫХ.....</b>	<b>58</b>
<b>6.3 ФОРМАТ ВЫХОДНЫХ ДАННЫХ.....</b>	<b>58</b>
<b>7 ЧИСЛЕННОЕ ИНТЕГРИРОВАНИЕ ФУНКЦИЙ .....</b>	<b>60</b>
<b>7.1 МЕТОДЫ РЕШЕНИЯ.....</b>	<b>62</b>
7.1.1 Формулы прямоугольников .....	62
7.1.2 Формула трапеций .....	64
7.1.3 Формула Симпсона .....	66
7.1.4 Формула Чебышева.....	67
7.1.5 Формула Гаусса .....	67
7.1.6 Вычисления с заданной точностью .....	68

7.2 ФОРМАТ ВХОДНЫХ ДАННЫХ.....	69
7.3 ФОРМАТ ВЫХОДНЫХ ДАННЫХ.....	70
<b>8 РЕШЕНИЕ ОБЫКНОВЕННЫХ ДИФФЕРЕНЦИАЛЬНЫХ УРАВНЕНИЙ .....</b>	<b>72</b>
8.1 МЕТОДЫ РЕШЕНИЯ.....	73
8.1.1 Решение ОДУ первого порядка .....	73
8.1.2 Решение систем ОДУ.....	75
8.1.3 Решение ОДУ n-го порядка.....	75
8.2 ФОРМАТ ВХОДНЫХ ДАННЫХ.....	76
8.3 ФОРМАТ ВЫХОДНЫХ ДАННЫХ.....	77
<b>9 РЕШЕНИЕ ЛИНЕЙНЫХ ИНТЕГРАЛЬНЫХ УРАВНЕНИЙ .....</b>	<b>78</b>
9.1 МЕТОДЫ РЕШЕНИЯ.....	78
9.1.1 Метод последовательных приближений.....	79
9.1.2 Метод дискретизации .....	79
9.1.3 Решение ЛИУ первого рода .....	80
9.2 ФОРМАТ ВХОДНЫХ ДАННЫХ.....	81
9.3 ФОРМАТ ВЫХОДНЫХ ДАННЫХ.....	81
<b>СПИСОК ЛИТЕРАТУРЫ .....</b>	<b>83</b>
<b>ПРИЛОЖЕНИЕ А ДОПОЛНИТЕЛЬНЫЕ МАТЕРИАЛЫ.....</b>	<b>84</b>
<b>А.1. ПОРЯДОК ВЫПОЛНЕНИЯ И СДАЧА РАБОТЫ .....</b>	<b>84</b>
<b>А.2 ВХОДНЫЕ И ВЫХОДНЫЕ ДАННЫЕ ПРОГРАММ.....</b>	<b>85</b>
А.2.1 Форматирование чисел и строк.....	85
А.2.2 Работа с функциями, заданными в аналитическом виде .....	91
А.2.3 Использование стандартных потоков ввода- вывода.....	94
А.2.4 Результаты вычислений. Погрешность .....	96
<b>А.3 ТРЕБОВАНИЯ К СТРУКТУРЕ ОТЧЕТА.....</b>	<b>98</b>
<b>ПРИЛОЖЕНИЕ Б ОБРАЗЕЦ ОФОРМЛЕНИЯ ТИТУЛЬНОГО ЛИСТА ОТЧЕТА .....</b>	<b>100</b>

## ВВЕДЕНИЕ

Численные методы – это методы, позволяющие при помощи алгоритмов, имеющих конечное число итераций, решать различные математические задачи (заданные в аналитическом виде). При этом набор инструкций, использующийся для написания алгоритма, ограничен и включает только такие инструкции, которые элементарно реализуются на ЭВМ (в данном случае, применительно к языкам высокого уровня). Таким образом, ограниченность набора инструкций и конечность алгоритма делает возможной его реализацию в виде программы. Решение же задач на ЭВМ в аналитическом виде затруднено.

Например, пусть нам требуется решить уравнение  $f(x) = 0$  (т.е. найти *нули* функции). Очевидно, что аналитическое решение этого уравнения зависит от вида функции  $f(x)$ . Если это линейная функция, то уравнение решается одним методом, если это квадратный полином – другим. Существует множество методов для решения такого уравнения, если функция является полиномиальной, тригонометрической, экспоненциальной, содержит дифференциалы, интегралы и т.д. Однако, ЭВМ не может провести анализ функции (в чем и заключается смысл аналитического решения), и поэтому численные методы поиска нуля функции построены так, что не зависят от ее вида.

Численное решение априори является неточным, т.к. погрешности возникают как из-за использования приближенного алгоритма [1-2], так и по причине конечности разрядной сетки ЭВМ. Конечность разрядной сетки подразумевает, что не все числа ЭВМ может хранить без погрешно-

сти. Например, самый длинный тип данных, поддерживаемый математическим сопроцессором (FPU) и распространенными компиляторами, имеет размер 10 байт. При этом самое большое по модулю число, которое может уместиться в эти рамки, составляет  $\sim 10^{4900}$ , а самое маленькое –  $\sim 10^{-4900}$ . Но это не означает, что точность такого числа составляет 4900 знаков после запятой. Если у числа есть целая часть, то количество двоичных разрядов, остающихся для кодирования дробной части, уменьшается. Кроме того, в виду двоичности представления чисел в FPU, точно кодируются только те числа, которые являются целой степенью числа 2 (или суммой таких степеней). Например,

$$\begin{aligned} 2_{10} &= 10_2 (1 \cdot 2^1 + 0 \cdot 2^0), \\ 13_{10} &= 1101_2 (1 \cdot 2^3 + 1 \cdot 2^2 + 0 \cdot 2^1 + 1 \cdot 2^0), \\ 0.5_{10} &= 0.1_2 (1 \cdot 2^{-1}), \\ 0.3125_{10} &= 0.0101_2 (0 \cdot 2^{-1} + 1 \cdot 2^{-2} + 0 \cdot 2^{-3} + 1 \cdot 2^{-4}). \end{aligned}$$

В противном случае число представляется в ЭВМ только с определенной погрешностью. Например, рассмотрим представление числа 0.1 с точностью до нескольких двоичных разрядов (количество разрядов указано в скобках):

$$\begin{aligned} 0.1_{10} &= 0.000_2 = 0_{10} (3); \\ 0.1_{10} &= 0.0001_2 = 0.063_{10} (4); \\ 0.1_{10} &= 0.00011_2 = 0.09375_{10} (5); \\ 0.1_{10} &= 0.000110_2 = 0.09375_{10} (6); \\ 0.1_{10} &= 0.0001100_2 = 0.09375_{10} (7); \\ 0.1_{10} &= 0.00011001_2 = 0.09765625_{10} (8) \text{ и т.д.} \end{aligned}$$

Как видно, точно это число представить двоичными разрядами невозможно. К сказанному можно еще добавить,

что дополнительные погрешности появляются при вычислении блоком FPU различных функций – тригонометрических, логарифмических, степенных и т.п. Все эти функции вычисляются либо при помощи каких-либо алгоритмов (разложение в ряды и т.д.), либо при помощи интерполяции по табличным значениям. В первом случае погрешность возникает по причине неточности алгоритма, невозможности вычисления бесконечного ряда и т.п. Во втором случае возникает погрешность интерполяции, поэтому и значение функции получается неточным.

Следует также отметить, что не все задачи имеют аналитическое решение. Например, известно, что существуют неберущиеся интегралы. Если такой интеграл входит в интегральное уравнение, то решить его аналитически не удастся. Можно привести и более простые примеры функций, найти нули которых аналитическим способом (в общем виде) невозможно:

$$f(x) = ax^3 + bx^2 + cx + d,$$

$$f(x) = ax + \cos(bx).$$

Здесь  $a, b, c, d$  – произвольные константы.

Проведение сложных математических расчетов требуется во многих отраслях науки и техники. При этом объем этих расчетов таков, что вручную за разумное время их выполнить невозможно. Примеры – распределение нагрузки между подключенными к электростанции объектами (оно должно происходить практически мгновенно при изменении потребляемой мощности), вычисление траектории космических тел, расчет движений земной коры в геоинформационных системах (а это задачи нефтяной, газовой и других



отраслей) и многое другое. Для этого и внедряются в промышленность и науку вычислительные системы и пишутся специализированные пакеты для проведения численных расчетов. Распространение же ЭВМ ставит, в свою очередь, новые математические задачи, не существовавшие ранее – распределение Internet-трафика, обсчет трехмерных моделей в графических редакторах и играх, машинное обучение искусственных нейронных сетей, навигация и управление беспилотными средствами (автомобилями, БПЛА) и т.д.

Таким образом, знание численных методов необходимо инженеру, область деятельности которого связана с программным обеспечением вычислительной техники и, в особенности, автоматизированных систем.

В рамках курса «Численные методы» необходимо выполнить следующие лабораторные работы:

1. Решение уравнений с одной переменной.
2. Решение задач линейной алгебры.
3. Вычисление собственных чисел и собственных векторов.
4. Решение систем нелинейных уравнений.
5. Интерполирование и численное дифференцирование функций.
6. Приближение сплайнами.
7. Численное интегрирование функций.
8. Решение обыкновенных дифференциальных уравнений.
9. Решение интегральных уравнений 1-го и 2-го рода.

Как видно, рассматриваемые задачи принадлежат к двум большим классам: численное решение уравнений или

систем уравнений (темы 1-4, 8-9) и приближение функций (темы 5-7).

Обязательными для выполнения являются шесть работ – №1, №2, №3, №5, №6 и №7. Остальные темы (№4, №8 и №9) изучаются в рамках самостоятельной работы, а соответствующие лабораторные работы выполняются по желанию.

# 1 РЕШЕНИЕ УРАВНЕНИЙ С ОДНОЙ ПЕРЕМЕННОЙ

В ходе данной лабораторной работы необходимо реализовать ряд методов решения уравнений

$$f(x) = 0, \quad (1.1)$$

где  $x \in [a, b]$  – скалярный аргумент функции  $f$ . При этом предполагается, что отделение корней уже произведено, т.е. на отрезке  $[a, b]$  находится только одно решение уравнения (1.1)  $\zeta \in [a, b]$ , или, другими словами, только один нуль функции  $f(x)$ , т.е.  $f(\zeta) \equiv 0$ . В этом случае выполняется условие

$$f(a)f(b) \leq 0. \quad (1.2)$$

Решение должно быть найдено с абсолютной погрешностью по аргументу  $\varepsilon$  и/или абсолютной погрешностью по значению функции  $\delta$ , т.е.

$$|\zeta - x^*| < \varepsilon \text{ и/или} \quad (1.3)$$

$$|f(x^*)| < \delta, \quad (1.4)$$

где  $\zeta$  – точное решение уравнения (1.1), а  $x^*$  – приближенное.

Зачем использовать две различные погрешности? Дело в том, что, в зависимости от вида функции, погрешность решения по аргументу и по значению функции могут не совпадать. Например, рассмотрим быстро растущую функцию. Из рис. 1.1 видно, что даже если по аргументу требуемая точность решения достигнута, то по значению функции – нет. Такая же ситуация будет наблюдаться для быстро убывающей функции (т.е. для любой функции, имеющей на исследуемом отрезке большую производную).

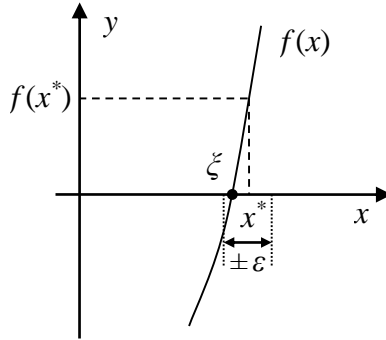


Рисунок 1.1 – Пример функции с большим (по модулю) значением производной вблизи корня

Обратная ситуация будет наблюдаться для функции с малыми значениями производной – при достижении требуемой точности по значению функции, точность по аргументу достигнута не будет (рис. 1.2).

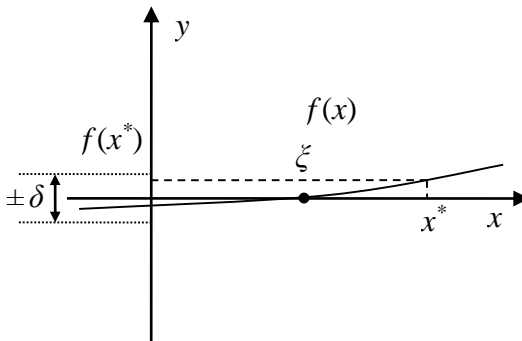


Рисунок 1.2 – Пример функции с малым (по модулю) значением производной вблизи корня

Для упрощения можно положить  $\varepsilon = \delta$ . Так как точный корень нам неизвестен, то условие (1.3) в численных методах заменяют другими, альтернативными, условиями, которые мы рассмотрим ниже.

## 1.1 МЕТОДЫ РЕШЕНИЯ

Для решения уравнения (1.1) необходимо реализовать три обязательных метода (дихотомии, хорд и Ньютона) и, по желанию, три дополнительных (комбинированный метод, метод итераций и золотого сечения).

### 1.1.1 ИНТЕРВАЛЬНЫЕ МЕТОДЫ

Методы дихотомии, хорд и золотого сечения являются интервальными, т.е. их смысл заключается в уменьшении исходного интервала, содержащего корень, до тех пор, пока размеры интервала не окажутся соизмеримы с требуемой погрешностью.

Для этих методов интервалом поиска корня на некоторой  $k$ -й итерации будет являться отрезок  $[a_k, b_k]$ , при этом  $a_0 = a, b_0 = b$ . Длина интервала в интервальных методах гарантированно уменьшается на каждой итерации решения, поэтому альтернативой условию (1.3) будет, очевидно, условие

$$\frac{b_k - a_k}{2} < \varepsilon, \quad (1.5)$$

т.к. погрешность определения корня не может превышать половины длины интервала.

В методе дихотомии интервал разбивается следующим образом. Вычисляется точка, расположенная в середине отрезка:

$$c_k = \frac{a_k + b_k}{2}. \quad (1.6)$$

Далее, согласно (1.2), проверяется, какому из интервалов —  $[a_k, c_k]$  или  $[c_k, b_k]$  — принадлежит корень. Т.е.,

$$\begin{cases} \text{Если } f(a_k)f(c_k) \leq 0 \rightarrow a_{k+1} = a_k, b_{k+1} = c_k, \\ \text{иначе } \rightarrow a_{k+1} = c_k, b_{k+1} = b_k. \end{cases} \quad (1.7)$$

В качестве  $k$ -го приближения корня берется точка

$$x_k = \frac{a_k + b_k}{2}. \quad (1.8)$$

В методе хорд интервал разбивается другой точкой:

$$c_k = a_k - \frac{f(a_k)}{f(b_k) - f(a_k)}(b_k - a_k). \quad (1.9)$$

Выбор интервала осуществляется согласно (1.7), а новое приближение корня совпадает с точкой  $c_k$  ( $x_k = c_k$ ). Однако, в отличие от других интервальных методов, в методе хорд постоянное уменьшение длины интервала не гарантировано, поэтому погрешность рассчитывается по формуле итерационных методов (1.13).

В методе золотого сечения интервал разбивается двумя симметричными относительно границ интервала точками:

$$d_k = a_k + \frac{b_k - a_k}{\gamma}, \quad c_k = a_k + \frac{b_k - a_k}{\gamma^2}, \quad (1.10)$$

где  $\gamma = \frac{\sqrt{5} + 1}{2}$ .

Для упрощения вычислений можно учесть упомянутую симметричность расположения точек  $c_k$  и  $d_k$ :

$$c_k - a_k = b_k - d_k. \quad (1.11)$$

Далее, согласно (1.2), проверяется, какому из интервалов  $[a_k, d_k]$  или  $[c_k, b_k]$  принадлежит корень. Т.е.,

$$\begin{cases} \text{Если } f(a_k)f(d_k) \leq 0 \rightarrow a_{k+1} = a_k, b_{k+1} = d_k, \\ \text{иначе } \rightarrow a_{k+1} = c_k, b_{k+1} = b_k. \end{cases} \quad (1.12)$$

Новое приближение корня вычисляется по формуле (1.8).

### 1.1.2 ИТЕРАЦИОННЫЕ МЕТОДЫ

Методы Ньютона (касательных) и итераций являются итеративными (итерационными), на основе некоторого приближения корня  $x_k$  они позволяют на каждой итерации получать новое приближение  $x_{k+1}$ . При этом используется информация о первой производной функции. Вместо условия (1.3) в итеративных методах оценивается расстояние между последним и предпоследним приближениями корня:

$$|x_{k+1} - x_k| < \varepsilon. \quad (1.13)$$

При этом нужно знать начальное приближение  $x_0$ , а дальнейшие приближения на каждой  $k+1$ -й итерации находятся по итеративной формуле:

$$x_{k+1} = \varphi(x_k). \quad (1.14)$$

В методе Ньютона начальное приближение выбирается в соответствии со следующим условием: если в некоторой точке  $x$  произведение  $f(x)f''(x) > 0$ , то точка  $x$  является подходящей для начала итерационного процесса. Проверяются границы интервала:

$$\begin{cases} \text{Если } f(a)f''(a) > 0, \text{ то } x_0 = a, \\ \text{Если } f(b)f''(b) > 0, \text{ то } x_0 = b. \end{cases} \quad (1.15)$$

На практике может наблюдаться ситуация, когда оба условия (1.15) не выполняются. В этом случае вместо второго условия можно использовать оператор «иначе», либо воспользоваться вторым критерием.

Если вторая производная функции не известна, можно воспользоваться другим критерием. Вычислим точку  $c$  по формуле (1.9), и далее

$$\begin{cases} \text{Если } f(a)f(c) \leq 0, \text{ то } x_0 = a; \\ \text{иначе } x_0 = b. \end{cases} \quad (1.16)$$

Если начальная точка определена неправильно, то найденное решение уравнения (1.1) может находиться за пределами отрезка  $[a, b]$ .

Функция  $\varphi(x_k)$  в (1.14) для метода Ньютона выглядит следующим образом:

$$\varphi(x_k) = x_k - \frac{f(x_k)}{f'(x_k)}. \quad (1.17)$$

В методе итераций, если выполняется неравенство  $|\varphi'(x)| < 1$ , процесс сходится независимо от выбора начальной точки. Поэтому можно брать любую из границ интервала, его середину и т.п. А функция  $\varphi(x_k)$  в (1.14) выглядит следующим образом:

$$\varphi(x_k) = x_k - \frac{f(x_k)}{\max_{[a,b]} |f'(x)|}. \quad (1.18)$$

В отличие от интервальных методов, длина исследуемого отрезка в которых на каждой итерации гарантированно уменьшается (например, для метода дихотомии – в два раза, для метода золотого сечения – в  $\gamma$  раз), в итеративных методах, в общем случае, расстояние между последовательными приближениями корня может иногда и увеличиваться. То же самое касается и значения функции в этих точках – оно может как уменьшаться, так и увеличиваться. Поэтому для некоторых функций условия (1.3) и (1.4) могут не выполняться в течение довольно большого числа итераций (или вообще никогда). В этом случае итерации следует прекращать при выполнении хотя бы одного условия.



### 1.1.2 КОМБИНИРОВАННЫЙ МЕТОД

Комбинированный метод сочетает в себе сильные стороны методов хорд и Ньютона, и поэтому является достаточно эффективным для большого класса функций. Т.к. он является интервальным, то для него применимы выражения (1.5) и (1.8). Исключение интервалов выполняется по следующему алгоритму.

Сначала по формуле (1.9) ищется точка пересечения хорды с осью  $x$ . Далее, согласно (1.15), если  $f(a_k)f''(a_k) > 0$  то точку  $a_k$  можно переместить ближе к корню по формуле Ньютона (1.14) и (1.17). Тогда точка  $b_k$  перемещается по формуле метода хорд (1.9):

$$\begin{cases} a_{k+1} = a_k - \frac{f(a_k)}{f'(a_k)}, \\ b_{k+1} = c_k. \end{cases} \quad (1.19)$$

Если же  $f(b_k)f''(b_k) > 0$ , то, наоборот, точку  $b_k$  можно переместить ближе к корню по формуле Ньютона, а точку  $a_k$  – по формуле метода хорд:

$$\begin{cases} a_{k+1} = c_k, \\ b_{k+1} = b_k - \frac{f(b_k)}{f'(b_k)}. \end{cases} \quad (1.20)$$

Два упомянутых условия достаточно проверять только один раз, если вторая производная не меняет своего знака на отрезке  $[a, b]$ . Но, т.к. это выполняется не для всех функций, лучше их проверять на каждой итерации. Аналогично (1.15), вместо второго условия можно использовать оператор «иначе», чтобы не возникла ситуация, когда оба условия не выполняются.

## 1.2 ФОРМАТ ВХОДНЫХ ДАННЫХ

Формат входного файла:

- $n$  – номер метода (в порядке их перечисления в п. 1.1, т.е. 1 – дихотомии, 2 – хорд и т.д.);
- $f(x)$  – исследуемая функция в аналитическом виде;
- $a$   $b$  – границы отрезка;
- $\varepsilon$  – требуемая точность решения.

## 1.3 ФОРМАТ ВЫХОДНЫХ ДАННЫХ

Формат выходного файла:

- $x^*$  – решение уравнения;
- $f(x^*)$  – значение функции в найденной точке  $x^*$ ;
- $\varepsilon^*$  – погрешность полученного решения.

## 2 РЕШЕНИЕ ЗАДАЧ ЛИНЕЙНОЙ АЛГЕБРЫ

К решению задач линейной алгебры в численных методах относят решение систем линейных алгебраических уравнений (СЛАУ) и вычисление различных характеристик матриц – определителей, обратных матриц, собственных чисел и собственных векторов. Для равномерного распределения нагрузки, вычисление собственных чисел и собственных векторов матриц вынесено в отдельную лабораторную работу (№3).

К решению систем линейных уравнений сводятся многие задачи автоматизации. Например, распределение нагрузки на электростанции, о которой упоминалось во введении. Порядок матриц в таких задачах достигает огромных величин. Также при помощи матриц выполняются различные операции над многомерными объектами (в физике, компьютерной графике и т.п.). Матричные преобразования играют большую роль при написании программного обеспечения многопроцессорных ЭВМ (т.н. параллельное программирование, ПП). Учитывая распространенность многопроцессорных и многоядерных ПК в настоящее время (а также *кластеров* из таких ПК), специалисты в области ПП становятся все более востребованными.

Все перечисленные характеристики матриц, так или иначе, находятся при помощи решения некоторых СЛАУ. СЛАУ выглядит следующим образом:

$$Ax = b, \quad (2.1)$$

где  $A$  – матрица размером  $n \times m$ ,  $x$  – вектор неизвестных длиной  $m$ ,  $b$  – вектор свободных коэффициентов длиной  $n$ . Все векторы являются столбцами.

Если  $n < m$ , то СЛАУ называется недоопределенной, а если  $n > m$  – то переопределенной. Мы будем рассматривать только нормально определенные системы с  $n = m$  (т.е. имеющие квадратную матрицу  $A$ ).

Точность решения СЛАУ можно оценить, вычислив вектор невязки:

$$\varepsilon = Ax^* - b, \quad (2.2)$$

где  $x^*$  – приближенное решение СЛАУ.

Для получения скалярной оценки можно использовать норму (1.4).

Учитывая, что точное решение уравнения (2.1) для квадратной матрицы можно найти аналитически, т.е.

$$x^* = A^{-1}b, \quad (2.3)$$

можно сделать вывод, что единственное решение существует только тогда, когда существует обратная матрица. А для этого, в свою очередь, требуется, чтобы

$$\det A \neq 0. \quad (2.4)$$

## 2.1 МЕТОДЫ РЕШЕНИЯ

Существуют три класса методов решения СЛАУ [2]:

1. Прямые (точные). Дают решение задачи за конечное число итераций, при этом, если все операции выполняются точно, то и решение получается точным. При реализации на ЭВМ погрешность, конечно же, появляется (по описанным выше причинам – конечность разрядной сетки и т.д.). К прямым методам относятся методы Гаусса, декомпозиции (Халецкого), ортогонализации и др. Прямые методы применяются для решения систем порядка  $10^3$ .

2. Итерационные. Дают решение с некоторой точностью как предел последовательных приближений. К итерационным методам относятся методы релаксации, простой итерации, Зейделя, градиентные методы и др. Итерационные методы применяются для систем порядка  $10^7$ .

3. Вероятностные. Основаны на случайных испытаниях некоторой блуждающей частицы, моделирующей решение задачи и применении закона больших чисел. В основном, это метод Монте-Карло и его модификации.

В данной лабораторной работе необходимо реализовать один из трех обязательных точных методов (в зависимости от номера варианта):

- 1) метод Гаусса;
- 2) метод декомпозиции;
- 3) метод ортогонализации (схема №1).

Дополнительно можно реализовать еще один итерационный метод – Зейделя или простой итерации.

При помощи данных методов необходимо реализовать решение следующих задач:

- 1) решение СЛАУ;
- 2) поиск определителя матрицы (только для методов Гаусса и декомпозиции).
- 3) вычисление обратной матрицы.

### 2.1.1 МЕТОД ГАУССА

Прямой ход (преобразование матрицы к треугольному виду):

$$a_{kk}^{(k)} = 1, \quad a_{kj}^{(k)} = \frac{a_{kj}^{(k-1)}}{a_{kk}^{(k-1)}}, \quad b_k^{(k)} = \frac{b_k^{(k-1)}}{a_{kk}^{(k-1)}}; \quad (2.5)$$

$$a_{ik}^{(k)} = 0, \quad a_{ij}^{(k)} = a_{ij}^{(k-1)} - a_{ik}^{(k-1)} a_{kj}^{(k)},$$

$$b_i^{(k)} = b_i^{(k-1)} - a_{ik}^{(k-1)} b_k^{(k-1)}.$$
(2.6)

Здесь  $k = 1, 2, \dots, n, i = k + 1, k + 2, \dots, n, j = k + 1, k + 2, \dots, n$ . Значения 1 и 0, которые используются в виде констант, можно получить и по общим формулам, но это приведет к ненужным погрешностям. После прямого хода СЛАУ примет следующий вид:

$$\begin{pmatrix} 1 & a_{12}^{(1)} & \dots & a_{1n}^{(1)} \\ 0 & 1 & \dots & a_{2n}^{(2)} \\ \dots & \dots & \dots & \dots \\ 0 & 0 & \dots & 1 \end{pmatrix} x = \begin{pmatrix} b_1^{(1)} \\ b_2^{(2)} \\ \dots \\ b_n^{(n)} \end{pmatrix}.$$
(2.7)

Из анализа (2.7) очевидны формулы для обратного хода (получения решения СЛАУ):

$$x_i = b_i^{(i)} - \sum_{j=i+1}^n a_{ij}^{(i)} x_j, \quad i = n, n-1, \dots, 1.$$
(2.8)

Определитель исходной матрицы  $A$  можно вычислить по формуле

$$\det A = \prod_{i=1}^n a_{ii}^{(i-1)} = a_{11} \cdot a_{22}^{(1)} \cdot \dots \cdot a_{nn}^{(n-1)}.$$
(2.9)

Во всех формулах подразумевается, что  $a_{ij}^{(0)} = a_{ij}$ .

Метод Гаусса обладает следующим недостатком. Если обратить внимание на формулу (2.5), то видно, что в ней происходит операция деления на диагональные элементы матриц  $A^{(k)}$ . Если в процессе решения требуемый диагональный элемент получится равным нулю, то этот метод даст сбой, даже если условие (2.4) выполняется. В этом случае требуется перестановка строк исходной матрицы  $A$  (и соответствующих элементов вектора  $b$ ). В данной лабораторной

работе делать этого не требуется, хотя программная реализация достаточно простая.

### 2.1.2 МЕТОД ДЕКОМПОЗИЦИИ

Сначала исходная матрица  $A$  раскладывается на две треугольные матрицы  $B$  и  $C$  таким образом, что  $A = BC$ . Формулы для получения элементов матриц  $B$  и  $C$ :

$$b_{ij} = a_{ij} - \sum_{k=1}^{j-1} b_{ik}c_{kj}, \quad j = 1, 2, \dots, n, \quad (2.10)$$

$$i = j, j+1, \dots, n;$$

$$c_{ij} = \frac{1}{b_{ii}} \left( a_{ij} - \sum_{k=1}^{i-1} b_{ik}c_{kj} \right), \quad i = 1, 2, \dots, n-1, \quad (2.11)$$

$$j = i+1, i+2, \dots, n.$$

Диагональные элементы матрицы  $C$  равны 1, остальные элементы матриц  $B$  и  $C$  нулевые:

$$B = \begin{pmatrix} b_{11} & 0 & \dots & 0 \\ b_{21} & b_{22} & \dots & 0 \\ \dots & \dots & \dots & \dots \\ b_{n1} & b_{n2} & \dots & b_{nn} \end{pmatrix}, \quad C = \begin{pmatrix} 1 & c_{12} & \dots & c_{1n} \\ 0 & 1 & \dots & c_{2n} \\ \dots & \dots & \dots & \dots \\ 0 & 0 & \dots & 1 \end{pmatrix}.$$

Важен порядок вычисления элементов матриц  $B$  и  $C$ . Сначала вычисляется первый столбец матрицы  $B$ , затем первая строка матрицы  $C$ , затем второй столбец  $B$ , затем вторая строка  $C$  и т.д.

После этого сначала решается СЛАУ  $Bu = d$ , а затем —  $Cx = y$ . По аналогии с (2.8), для решения этих систем можно записать

$$y_i = \frac{1}{b_{ii}} \left( b_i - \sum_{k=1}^{i-1} b_{ik}y_k \right), \quad i = 1, 2, \dots, n; \quad (2.12)$$

$$x_i = y_i - \sum_{k=i+1}^n c_{ik} x_k, \quad i = n, n-1, \dots, 1. \quad (2.13)$$

Определитель исходной матрицы  $A$  можно вычислить по формуле

$$\det A = \det BC = \det B \cdot \det C = \prod_{i=1}^n b_{ii}. \quad (2.14)$$

Метод декомпозиции обладает тем же недостатком, что и метод Гаусса. В формуле (2.11) происходит деление на диагональные элементы матрицы  $B$ . Если в процессе решения требуемый диагональный элемент получится равным нулю, то этот метод также даст сбой. Аналогично, тогда может помочь только перестановка строк исходной СЛАУ, но делать это в рамках данной лабораторной работы не требуется.

### 2.1.3 МЕТОД ОРТОГОНАЛИЗАЦИИ

Метод ортогонализации лишен этого недостатка. Как видно из формул, приведенных ниже, деление на ноль он может дать только в том случае, если одна из строк матрицы  $U$  будет содержать только нули. Но при выполнении условия (2.4) это невозможно.

Итак, сначала исходная матрица  $A$  преобразуется в расширенную матрицу  $A'$  размера  $(n+1) \times (n+1)$ :

$$\begin{aligned} a'_{ij} &= a_{ij}, \quad a'_{i,n+1} = -b_i, \quad i = 1, 2, \dots, n, \quad j = 1, 2, \dots, n; \\ a'_{n+1,j} &= e_{n+1,j}, \quad j = 1, 2, \dots, n+1. \end{aligned} \quad (2.15)$$

Здесь  $e_{n+1}$  —  $n+1$ -я строка единичной матрицы. Расширенный вектор  $x'$  дополняется еще одним компонентом, и его размер для расширенной системы составляет  $n+1$ . Сама же расширенная СЛАУ будет выглядеть так:

$$A' x' = 0. \quad (2.16)$$



Чтобы расширенная система была эквивалентна исходной, последний компонент вектора  $x'$  должен быть равен единице, т.е.

$$x'_j = x_j, \quad x'_{n+1} = 1, \quad j = 1, 2, \dots, n. \quad (2.17)$$

Таким образом, имеем следующую расширенную систему:

$$\begin{pmatrix} a_{11} & a_{12} & \dots & -b_1 \\ a_{21} & a_{22} & \dots & -b_2 \\ \dots & \dots & \dots & \dots \\ 0 & 0 & 0 & 1 \end{pmatrix} \begin{pmatrix} x_1 \\ x_2 \\ \dots \\ 1 \end{pmatrix} = 0.$$

Далее последовательно находятся строки некоторых матриц  $U$  и  $Z$ . Их размер также составляет  $(n+1) \times (n+1)$ :

$$u_i = a_i - \sum_{j=1}^{i-1} (a_i, z_j) z_j, \quad z_i = \frac{u_i}{\|u_i\|}, \quad (2.18)$$

$$i = 1, 2, \dots, n+1.$$

Здесь  $a_i$ ,  $u_i$ ,  $z_i$  – соответствующие строки матриц  $A'$ ,  $U$  и  $Z$ . В скобках стоит скалярное произведение, а норма в данном случае – это квадратный корень из скалярного произведения вектора самого на себя, т.е. может быть вычислена по формуле (1.4).

После этого можем получить решение СЛАУ:

$$x_i = \frac{z_{n+1,i}}{z_{n+1,n+1}}, \quad i = 1, 2, \dots, n. \quad (2.19)$$

Очевидно, что при программировании можно обойтись всего одной матрицей:

$$a_i = \frac{\alpha}{\|\alpha\|}, \quad \text{где } \alpha = a_i - \sum_{j=1}^{i-1} (a_i, a_j) a_j.$$

### 2.1.4 МЕТОД ПРОСТОЙ ИТЕРАЦИИ

Преобразуем исходную систему к виду

$$x = \beta + \alpha x, \quad (2.20)$$

где  $\alpha$  – матрица размера  $n \times n$ ,  $\beta$  – вектор размера  $n$ :

$$\beta_i = \frac{b_i}{a_{ii}}, \quad i = 1, 2, \dots, n, \quad (2.21)$$

$$\alpha_{ij} = -\frac{a_{ij}}{a_{ii}}, \quad \alpha_{ii} = 0, \quad j = 1, 2, \dots, n, \quad j \neq i.$$

Полагая в качестве начального приближения решения  $x^{(0)} = \beta$ , строим итерационный процесс по формулам

$$x^{(k+1)} = \beta + \alpha x^{(k)}. \quad (2.22)$$

Итерации заканчиваются, когда выполняется условие

$$\|x^{(k+1)} - x^{(k)}\| < \frac{1 - \|\alpha\|}{\|\alpha\|} \varepsilon, \quad (2.23)$$

где  $\varepsilon$  – требуемая точность решения.

Из (2.21) следует, что диагональные элементы исходной матрицы должны быть ненулевыми. Более того, на самом деле требования к ним еще жестче. Итерационный процесс (2.22) сходится, если норма матрицы  $\alpha$  меньше 1. Для этого требуется, чтобы у исходной матрицы СЛАУ  $A$  числа, стоящие на главной диагонали, были больше суммы остальных чисел в соответствующей строке матрицы (все числа нужно брать по модулю), т.е.

$$|a_{ii}| > \sum_{\substack{j=1, \\ j \neq i}}^n |a_{ij}|, \quad i = 1, 2, \dots, n. \quad (2.24)$$

### 2.1.5 МЕТОД ЗЕЙДЕЛЯ

Метод Зейделя является модификацией метода простой итерации. Поэтому преобразование (2.20), (2.21), а также критерий останова (2.23) верны и для него. Несколько по-другому строится итерационный процесс:

$$x_i^{(k+1)} = \beta_i + \sum_{j=1}^{i-1} \alpha_{ij} x_j^{(k+1)} + \sum_{j=i}^n \alpha_{ij} x_j^{(k)}. \quad (2.25)$$

Ограничение (2.24) также применимо. Но, в силу модификаций, метод Зейделя сходится также для любой СЛАУ с симметричной положительно определенной матрицей. Чтобы сделать матрицу таковой, необходимо ее транспонировать и умножить на саму себя. Тогда аналогичные преобразования необходимо проделать и с правой частью СЛАУ:

$$A^T A x = A^T b. \quad (2.26)$$

Получаем систему  $A'x = b'$ , которую решаем методом Зейделя.

### 2.1.6 ВЫЧИСЛЕНИЕ ОБРАТНЫХ МАТРИЦ

Обозначим как  $X$  неизвестные элементы обратной матрицы. Следовательно, нам необходимо решить систему

$$AX = E, \quad (2.27)$$

где  $E$  – единичная матрица, т.е.

$$E = \begin{pmatrix} 1 & 0 & \dots & 0 \\ 0 & 1 & \dots & 0 \\ \dots & \dots & \dots & \dots \\ 0 & 0 & \dots & 1 \end{pmatrix}.$$

Все матрицы имеют размер  $n \times n$ . Решение матричной системы (2.27) можно представить в виде решения  $n$  СЛАУ

$$Ax_i = e_i, i = 1, 2, \dots, n, \quad (2.28)$$

где  $x_i, e_i$  –  $i$ -й столбец обратной и единичной матрицы соответственно.

Обратите внимание, что при вычислении обратной матрицы СЛАУ решается  $n$  раз, где  $n$  – порядок матрицы. При этом все треугольные матрицы в методах Гаусса и декомпозиции получаются одинаковыми, меняется только вектор свободных коэффициентов. Это нужно использовать для оптимизации вычислений в программе – все треугольные матрицы должны вычисляться только один раз.

## 2.2 ФОРМАТ ВХОДНЫХ ДАННЫХ

Формат входного файла:

$m$  – тип задачи (в том порядке, в котором они перечислены выше);  
 $n$  – порядок матрицы;  
 $a_{11} \dots a_{1n} [b_1]$  – коэффициенты матрицы и вектор свободных коэффициентов (при решении СЛАУ, т.е. при  $m = 1$ ).  
 $a_{21} \dots a_{2n} [b_2]$   
 $\dots$   
 $a_{n1} \dots a_{nn} [b_n]$

## 2.3 ФОРМАТ ВЫХОДНЫХ ДАННЫХ

Формат выходного файла зависит от метода и типа задачи:

- Если используется метод Гаусса, то в любом случае в выходной файл выводятся матрицы  $A^{(1)}, A^{(2)}, \dots, A^{(n)}$ . Если решалась система СЛАУ, то еще и векторы  $b^{(1)}, b^{(2)}, \dots, b^{(n)}$ . Если вычислялась обратная матрица – векторы  $e_1^{(n)}, e_2^{(n)}, \dots, e_n^{(n)}$ .

- Если используется метод декомпозиции, то в любом случае выводятся матрицы  $B$  и  $C$ . Если решалась система СЛАУ, то вектор  $y$ . Если вычислялась обратная матрица – векторы  $y_1, y_2, \dots, y_n$ .

- Если используется метод ортогонализации, то в любом случае выводится расширенная матрица  $A'$ . При решении СЛАУ выводятся матрицы  $U$  и  $Z$ . Если вычислялась обратная матрица – матрицы  $U_1, Z_1, U_2, Z_2, \dots, U_n, Z_n$ .

- Для итерационных методов выводятся матрицы  $\alpha$  и векторы  $\beta$  (для каждой решаемой СЛАУ).

При решении СЛАУ в файл выводятся:

$x^*$  – вектор решения;

$\varepsilon$  – вектор невязки;

$\|\varepsilon\|$  – норма вектора невязки.

При поиске определителя – его значение. При вычислении обратной матрицы – следующие величины:

$X$  – обратная матрица;

$\varepsilon$  – матрица невязки ( $AX - E$ );

$\|\varepsilon\|$  – норма матрицы невязки.

### 3 ВЫЧИСЛЕНИЕ СОБСТВЕННЫХ ЧИСЕЛ И СОБСТВЕННЫХ ВЕКТОРОВ

Собственные числа и векторы квадратной матрицы являются ее важными характеристиками, используемыми в различных формах математического анализа. Собственное число матрицы  $\lambda_i$  и соответствующий ему собственный вектор  $x_i$  удовлетворяют следующему соотношению:

$$Ax_i = \lambda_i x_i. \quad (3.1)$$

У квадратной матрицы размерности  $n$  имеется  $n$  собственных чисел и векторов. Некоторые из них могут быть кратными (т.е. совпадающими). Таким образом, квадратная матрица размерности  $n$  имеет  $m$  различных собственных чисел  $\lambda_i$  и соответствующих им собственных векторов  $x_i$  кратности  $k_i$ . При этом

$$\sum_{i=1}^m k_i = n, \quad i = 1, 2, \dots, m, \quad 1 \leq m \leq n. \quad (3.2)$$

Отметим также, что от умножения собственного вектора матрицы на скаляр  $c$  он не перестает быть ее собственным вектором:

$$A(cx_i) = \lambda_i(cx_i) \Rightarrow cAx_i = c\lambda_i x_i \Rightarrow Ax_i = \lambda_i x_i. \quad (3.3)$$

#### 3.1 МЕТОДЫ РЕШЕНИЯ

При аналитическом решении собственные числа матрицы находятся из решения уравнения

$$D(\lambda) = 0, \quad (3.4)$$

где  $D(\lambda) = \det(A - \lambda E)$  – характеристический полином матрицы. После этого, согласно (3.1), можно найти собственные векторы, решая СЛАУ

$$(A - \lambda E)x = 0. \quad (3.5)$$

### 3.1.1 ВЫЧИСЛЕНИЕ СОБСТВЕННЫХ ЧИСЕЛ МЕТОДОМ ДАНИЛЕВСКОГО

В данной лабораторной работе для поиска собственных чисел и векторов мы будем использовать метод Данилевского. Суть его состоит в том, что исходная матрица  $A$  преобразуется в подобную ей матрицу Фробениуса  $P$ , имеющую следующий вид:

$$P = \begin{pmatrix} p_1 & p_2 & \dots & p_{n-1} & p_n \\ 1 & 0 & \dots & 0 & 0 \\ \dots & \dots & \dots & \dots & \dots \\ 0 & 0 & 0 & 1 & 0 \end{pmatrix}.$$

Делается это при помощи следующего преобразования подобия:

$$P = S^{-1}AS, \quad (3.6)$$

где  $S = M_{n-1}M_{n-2}\dots M_1$ ,  $S^{-1} = M_1^{-1}M_2^{-1}\dots M_{n-1}^{-1}$ .

Таким образом, можно последовательно находить  $n-1$  матрицу  $A^{(k)}$ :

$$\begin{aligned} A^{(k)} &= M_{n-k}^{-1}A^{(k-1)}M_{n-k}, \quad k = 1, 2, \dots, n-1, \\ A^{(0)} &= A, \quad P = A^{(n-1)}. \end{aligned} \quad (3.7)$$

А можно найти матрицы  $S$  (прямую и обратную) и затем сразу вычислить  $P$  по формуле (3.6). Такой способ эффективнее, т.к. не нужно хранить множество матриц  $M$ , произведение которых еще понадобятся для вычисления собственных векторов.

Матрицы  $M$  строятся следующим образом:

$$M_k : \begin{cases} m_{ij} = e_{ij}, & i = 1, 2, \dots, n, \quad j = 1, 2, \dots, n, \quad i \neq k; \\ m_{kj} = -\frac{a_{k+1,j}^{(n-k-1)}}{a_{k+1,k}^{(n-k-1)}}, & j = 1, 2, \dots, n, \quad j \neq k; \\ m_{kk} = \frac{1}{a_{k+1,k}^{(n-k-1)}}. \end{cases} \quad (3.8)$$

$$M_k^{-1} : \begin{cases} m_{ij} = e_{ij}, & i = 1, 2, \dots, n, \quad j = 1, 2, \dots, n, \quad i \neq k; \\ m_{kj} = a_{k+1,j}^{(n-k-1)}, & j = 1, 2, \dots, n. \end{cases} \quad (3.9)$$

Несложно доказать, что у подобных матриц собственные числа совпадают. Далее для матрицы  $P$  строится характеристический полином

$$D(\lambda) = \det(P - \lambda E) = (-1)^n [\lambda^n - p_1 \lambda^{n-1} - p_2 \lambda^{n-2} - \dots - p_n]. \quad (3.10)$$

Это полином степени  $n$ . Очевидно, что он имеет  $n$  корней  $\lambda_1, \lambda_2, \dots, \lambda_n$ . Некоторые из них могут быть кратными, при этом выполняется соотношение (3.2). Необходимо не только найти все корни полинома, но и определить их кратность (см. п. 3.1.3).

### 3.1.2 ВЫЧИСЛЕНИЕ СОБСТВЕННЫХ ВЕКТОРОВ МЕТОДОМ ДАНИЛЕВСКОГО

Далее для каждого собственного числа вычисляется соответствующий ему собственный вектор. Собственные векторы у подобных матриц не совпадают. Если  $y_i$  — это собственный вектор матрицы  $P$ , соответствующий собственному числу  $\lambda_i$ , то

$$x_i = S y_i, \quad i = 1, 2, \dots, n. \quad (3.11)$$

При этом собственный вектор матрицы  $P$  выглядит следующим образом:



$$y_i = \begin{pmatrix} \lambda_i^{n-1} \\ \lambda_i^{n-2} \\ \dots \\ \lambda_i \\ 1 \end{pmatrix}. \quad (3.12)$$

### 3.1.3 ОПРЕДЕЛЕНИЕ КРАТНОСТИ СОБСТВЕННЫХ ЧИСЕЛ И ВЕКТОРОВ

При поиске кратных корней возникают некоторые сложности. Дело в том, что если кратность корня четная, то в этой точке наблюдается экстремум (минимум или максимум) характеристического полинома, а если нечетная – то полином просто меняет знак. Пример приведен на рис. 3.1.

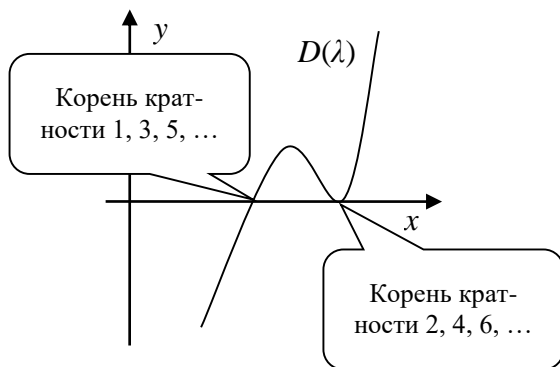


Рисунок 3.1 – Поведение характеристического полинома

Согласно определению [1], корень уравнения  $\xi$  имеет кратность  $k$ , если не только функция в точке  $\xi$  принимает нулевое значение, но и  $k-1$  ее производных:

$$f^{(i)}(\xi) = 0, \quad i = 0, 1, 2, \dots, k-1. \quad (3.13)$$

При  $i = 0$  имеем саму функцию. Таким образом, получаем  $k$  нулей функции и ее производных.

Учитывая погрешности вычислений на ЭВМ, при четной кратности корня характеристический полином может пройти либо выше, либо ниже нулевой отметки (рис. 3.2).

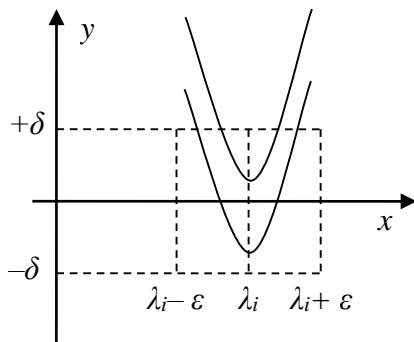


Рисунок 3.2 – Погрешности при вычислении собственных чисел

Здесь  $\varepsilon$  и  $\delta$  – достаточно малые числа. Т.о., программа может либо вообще не найти корня, либо найти сразу два. Поэтому договоримся считать корнем любое число  $\lambda_i$ , для которого  $|f(\lambda_i)| < \delta$ . При этом, если два корня  $\lambda_{i1}$  и  $\lambda_{i2}$  расположены близко друг к другу (т.е.  $|\lambda_{i1} - \lambda_{i2}| < 2\varepsilon$ ), то корнем следует считать только один из них, либо за корень принять число, расположенное между ними:

$$\lambda_i = (\lambda_{i1} + \lambda_{i2})/2. \quad (3.14)$$

Поиск собственных чисел продолжается до тех пор, пока не будут найдены все, т.е. пока не выполнится условие (3.2).

### 3.2 ФОРМАТ ВХОДНЫХ ДАННЫХ

Формат входного файла:

- m – тип задачи (1 – поиск собственных чисел, 2 – векторов);
- n – порядок матрицы;

$a_{11} \dots a_{1n}$  – коэффициенты матрицы.  
 $a_{21} \dots a_{2n}$   
.....  
 $a_{n1} \dots a_{nn}$

### 3.3 ФОРМАТ ВЫХОДНЫХ ДАННЫХ

Формат выходного файла:

$P$  – матрица Фробениуса;  
 $\lambda_i$  –  $i$ -е собственное число;  
 $|A - \lambda_i E|$  – проверка  $i$ -го собственного числа (при  $m = 1$ );  
 $x_i$  –  $i$ -й собственный вектор (при  $m = 2$ );  
 $Ax_i - \lambda_i x_i$  – проверка  $i$ -го собственного вектора (при  $m = 2$ );  
 $k_i$  – кратность  $i$ -го собственного числа/вектора;  
... и т.д. для всех  $i = 1, 2, \dots, m$ .

## 4 РЕШЕНИЕ СИСТЕМ НЕЛИНЕЙНЫХ УРАВНЕНИЙ

Не всегда системы уравнений, которые приходится решать в различных задачах, бывают линейными. Для решения систем нелинейных уравнений (СНУ) существует ряд специальных методов для их решения. По аналогии с решением уравнений с одной переменной, можно заключить, что численные методы позволяют быстрее получить приближенное решение при помощи ЭВМ. А также СНУ большой размерности аналитически очень тяжело решаются (если аналитическое решение вообще существует, что, как было показано выше, наблюдается далеко не всегда).

В матричном виде СНУ выглядит следующим образом:

$$f(x) = 0, \quad (4.1)$$

где  $f = (f_1, f_2, \dots, f_n)^T$ ,  $x = (x_1, x_2, \dots, x_m)^T$ , т.е.

$$\begin{cases} f_1(x_1, x_2, \dots, x_m) = 0 \\ f_2(x_1, x_2, \dots, x_m) = 0 \\ \dots \\ f_n(x_1, x_2, \dots, x_m) = 0 \end{cases}$$

Если  $n < m$ , то система может иметь множество решений. Если  $n > m$ , то система переопределена. В этом случае у нее может не быть решений. Мы будем рассматривать ситуацию с  $n = m$ . В этом случае количество решений зависит от вида системы функций  $F$ . Какое именно решение будет найдено, зависит от начальной точки  $x^0$ .

Очевидно, что при  $n = m = 1$  получим обычное уравнение с одной переменной. В принципе, все рассмотренные методы в таком случае вырождаются в методы решения

уравнений с одной переменной (с двумя из них мы уже ознакомились ранее). Аналогией производной при  $n > 1$  выступает матрица Якоби

$$W(x) = \begin{pmatrix} \frac{\partial f_1}{\partial x_1} & \frac{\partial f_1}{\partial x_2} & \dots & \frac{\partial f_1}{\partial x_n} \\ \frac{\partial f_2}{\partial x_1} & \frac{\partial f_2}{\partial x_2} & \dots & \frac{\partial f_2}{\partial x_n} \\ \dots & \dots & \dots & \dots \\ \frac{\partial f_n}{\partial x_1} & \frac{\partial f_n}{\partial x_2} & \dots & \frac{\partial f_n}{\partial x_n} \end{pmatrix}. \quad (4.2)$$

При  $n = 1$  якобиан вырождается в обычную производную.

## 4.1 МЕТОДЫ РЕШЕНИЯ

Для решения СЧУ предлагаются три метода – Ньютона, итераций и наискорейшего спуска.

### 4.1.1 МЕТОД НЬЮТОНА

Итерационный процесс, по аналогии с формулами метода Ньютона для решения уравнений с одной переменной (1.14) и (1.17), выглядит следующим образом:

$$x^{(k+1)} = \Phi(x^{(k)}), \quad (4.3)$$

где

$$\Phi(x^{(k)}) = x^{(k)} - W^{-1}(x^{(k)})f(x^{(k)}). \quad (4.4)$$

Критерий окончания итерационного процесса, по аналогии с (1.13), выглядит так:

$$\|x^{(k+1)} - x^{(k)}\| < \varepsilon. \quad (4.5)$$

### 4.1.2 МЕТОД ИТЕРАЦИЙ

Как и метод Ньютона, метод итераций решения СНУ является обобщением метода итераций решения уравнений с одной переменной и имеет вид (4.3). Анализируя (1.14) и (1.18), можно заключить, что для повышения скорости сходимости матрицу Якоби в (4.4) нужно вычислять не в точке  $x^{(k)}$ , а в некоторой другой точке. Очевидно, что в данном случае определить ее гораздо труднее. Поэтому обычно просто берут точку  $x^{(0)}$ :

$$\Phi(x^{(k)}) = x^{(k)} - W^{-1}(x^{(0)})f(x^{(k)}). \quad (4.6)$$

В итоге получаем модифицированный метод Ньютона, и скорость сходимости только падает. Критерий останова определяется выражением (4.5).

### 4.1.3 МЕТОД НАИСКОРЕЙШЕГО СПУСКА

Итерационный процесс строится по общей формуле (4.3), где

$$\Phi(x^{(k)}) = x^{(k)} - \lambda_k \nabla U(x^{(k)}). \quad (4.7)$$

Функция  $U(x)$  преобразует систему функций  $f$  в скалярную функцию векторного аргумента:

$$U(x) = f^T \cdot f = \sum_{i=1}^n f_i^2(x). \quad (4.8)$$

Очевидно, что

$$\nabla U(x) = 2(f')^T \cdot f = 2W^T(x) \cdot f(x). \quad (4.9)$$

Т.е. единственной проблемой остается поиск параметра  $\lambda_k$ . Он должен минимизировать функцию  $\Phi(x)$  вдоль направления  $\nabla U(x)$ :

$$\lambda_k : G(\lambda) = U(x^{(k+1)}) =$$

$$= U\left(x^{(k)} - \lambda \nabla U\left(x^{(k)}\right)\right) \xrightarrow{\lambda} \min. \quad (4.10)$$

Очевидно, что он должен быть положительным, иначе мы будем двигаться в направлении градиента, а не антиградиента функции (т.е. искать максимум).

Как известно, в точке минимума (как и в других точках экстремума) значение производной функции равно нулю. Используем этот факт для минимизации выражения (4.10):

$$\lambda_k : \frac{\partial}{\partial \lambda} U\left(x^{(k)} - \lambda \nabla U\left(x^{(k)}\right)\right) = 0. \quad (4.11)$$

Уравнение (4.11) можно решить численно, если использовать правила дифференцирования. Можно его решить и аналитически, если прибегнуть к некоторым приближениям. Тогда получим

$$\lambda_k = \frac{1}{2} \frac{g_k^T g_k}{g_k^T W_k^T W_k g_k}, \quad (4.12)$$

где  $g_k = W^T\left(x^{(k)}\right) f\left(x^{(k)}\right)$ ,  $W_k = W\left(x^{(k)}\right)$ .

## 4.2 ФОРМАТ ВХОДНЫХ ДАННЫХ

Формат входного файла:

- m — метод (в порядке их перечисления);
- n — размерность СНУ;
- $x^0$  — начальное приближение;
- $\varepsilon$  — требуемая погрешность решения;
- $f_1$  — система функций.
- $f_2$
- ...
- $f_n$

### 4.3 ФОРМАТ ВЫХОДНЫХ ДАННЫХ

- $x^0$  – последовательные приближения решения
- $x^1$  СЛУ;
- ...
- $x^k$
- $\varepsilon^*$  – вектор невязки  $f(x^k)$ ;
- $\|\varepsilon^*\|$  – норма вектора невязки.



## 5 ИНТЕРПОЛИРОВАНИЕ И ЧИСЛЕННОЕ ДИФФЕРЕНЦИРОВАНИЕ ФУНКЦИЙ

Приближение функций – одна из наиболее востребованных областей численных методов. Под приближением понимается замена на интервале  $[a, b]$  исходной функции  $f(x)$  некоторой другой функцией  $P(x)$ , близкой (по некоторому критерию) к исходной функции. В общем случае,  $P(x)$  является полиномом вида

$$P(x) = \sum_{i=0}^n c_i \varphi_i(x), \quad (5.1)$$

где  $c_i$  – некоторые действительные константы, а  $\varphi_i(x)$  – система действительных линейно-независимых функций. Т.е. любая функция этой системы не может быть представлена в виде линейной комбинации других. Например,

$$\varphi_i(x) = \sin^i(x).$$

Задача состоит в том, чтобы, выбрав систему функций, найти такие коэффициенты  $c_i$ , при которых отклонение полинома  $P(x)$  от исходной функции удовлетворяло бы выдвигаемым критериям. Исходными данными являются узлы  $x_i$ , принадлежащие отрезку  $[a, b]$  и значения функции в этих узлах  $y_i = f(x_i)$ ,  $i = 0, 1, \dots, m$ . При этом полином  $P(x)$  называют приближающим или **аппроксимирующим** (от англ. approximate – приблизительный):

$$f(x) = P(x) + R(x), \quad (5.2)$$

где  $R(x)$  – т.н. *остаточный член*.

В данной лабораторной работе мы будем рассматривать такие полиномы, у которых  $m = n$ .

Например, аппроксимирующий полином можно построить, воспользовавшись методом наименьших квадратов

(МНК). При этом  $\varphi_i(x)$  может быть системой любых линейно-независимых функций, а коэффициенты  $c_i$  ищутся из условия минимального СКО полученного полинома от исходной функции:

$$\frac{1}{n} \sqrt{\sum_{i=0}^n (y_i - P(x_i))^2} \xrightarrow{c_i} \min. \quad (5.3)$$

Картина при этом получается примерно такая, как на рис. 5.1.

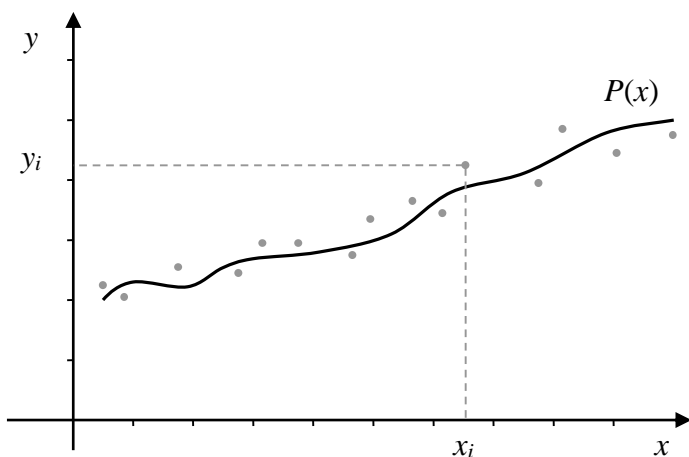


Рисунок 5.1 – Аппроксимация МНК

Если требуется построить такой полином, чтобы он проходил через все точки  $(x_i, y_i)$ , то его называют **интерполирующим** (от англ. interpolate). Здесь приставка «inter-» имеет смысл «между». Т.е. нас интересует поведение полинома только между точками  $(x_i, y_i)$ , т.е. между границами отрезка  $[a, b]$ . А критерий близости интерполирующего полинома к исходной функции выглядит как

$$y_i = P(x_i). \quad (5.4)$$

При этом обычно  $x_0 = a$ ,  $x_n = b$ . Для того же набора точек, что и на рисунке выше, получим результат, показанный на рис. 5.2.

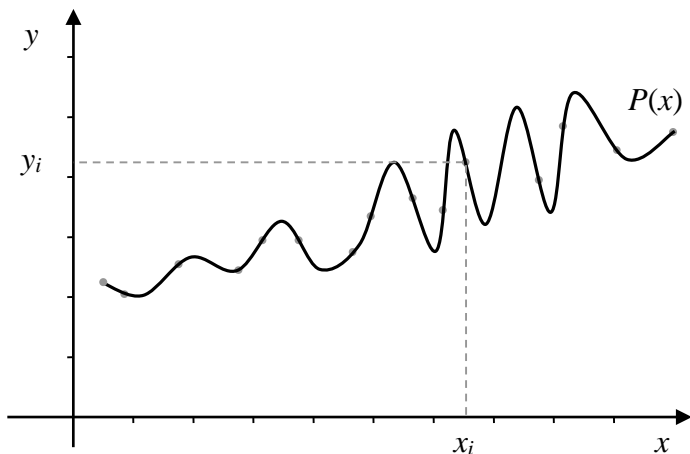


Рисунок 5.2 – Интерполяция методом Ньютона или Лагранжа

На рисунке изображены полиномы Ньютона и Лагранжа (в сущности, это разные формы записи одного и того же полинома степени  $n$ ), которые мы будем изучать в ходе данной лабораторной работы. Как видно, их недостатком является осцилляция при большом количестве точек. Поэтому их область применения лучше ограничивать теми случаями, когда точек немного. В противном случае нужно пользоваться другими интерполирующими и аппроксимирующими полиномами.

Если же нас интересуют значения полинома  $P(x)$  за пределами отрезка  $[a, b]$ , то такой полином называется **экстраполирующим** (от англ. extrapolate, где приставка «extra-» имеет смысл «сверх», «за пределами»).

Аппроксимация функций необходима в двух случаях.

**Во-первых**, если исходная функция неизвестна. Т.е. имеется только некоторая сетка  $\{x_i\}$  и значения функции в узлах сетки  $\{y_i\}$ . В этом случае говорят, что функция задана *таблично*. Такая ситуация может складываться в любом эксперименте – известно значение искомой характеристики  $y_i$  только в некоторых точках  $x_i$  в пространстве ее аргументов  $R^Z$ , но необходимо иметь возможность найти значения этой характеристики во всех точках некоторого подпространства  $X^Z \subset R^Z$ . Например, зная давления в некоторых точках трубы с газом, можно выдать прогноз давления по всей трубе. Это поможет найти области падения давления (т.е. нарушения герметичности трубы) или, наоборот, области повышенного давления (что может привести к прорыву трубы в будущем) и оперативно отреагировать на внештатную ситуацию. Или, зная несколько координат некоторого космического тела, движущегося в пространстве, можно построить достаточно гладкий интерполирующий полином, который ответит на вопрос, как выглядела траектория тела в те моменты, когда мы тела не наблюдали (например, оно было закрыто другими космическими телами или находилось за горизонтом, т.е. было невидимо из-за вращения Земли). Если использовать экстраполирующий полином, то можно узнать, как вела себя траектория тела до начала наблюдений, и как она будет вести себя в будущем.

**Во-вторых**, даже если аналитический вид функции известен, она может иметь очень сложный вид. Существуют различные задачи в физике, математике и пр. науках, где вычисление некоторых функций в одной точке пространства аргументов может занимать от нескольких секунд до

часов, дней и т.д. В этом случае, если время ограничено, вычисляют значение функции только в нескольких узлах (получая табличную функцию) и проводят аппроксимацию или интерполяцию.

Сетка  $\{x_i\}$  при  $i = 0, 1, \dots, n$  имеет  $n+1$  узел. Она может быть равномерной или неравномерной. Если сетка равномерная (т.е. расстояние между ее соседними узлами одинаковое), то все узлы задавать не обязательно. Достаточно знать начальный узел  $x_0$  и шаг сетки  $h$ :

$$x_i = x_0 + ih, \quad i = 0, 1, \dots, n. \quad (5.5)$$

Если заданы только границы отрезка (точки  $a$  и  $b$ , или  $x_0$  и  $x_n$ ), то из (5.5) следует, что  $x_n = x_0 + nh$ , т.е. шаг можно найти по формуле

$$h = \frac{x_n - x_0}{n} = \frac{b - a}{n}. \quad (5.6)$$

Все вышесказанное можно отнести также и к задачам численного дифференцирования (заметьте, что, говоря об аппроксимации и упомянутых ее разновидностях, мы не употребляем слово «численная», т.к. это в принципе чисто численные методы). Только в этом случае нас интересует не сама функция, а некоторая ее производная. Поэтому будем заменять производную функции (см. 5.2) производной аппроксимирующего полинома:

$$f^{(k)}(x) = (P(x) + R(x))^{(k)} = P^{(k)}(x) + R^{(k)}(x). \quad (5.7)$$

В данной лабораторной работе мы будем находить первую и вторую производные полинома  $P(x)$ . При этом

$$P^{(k)}(x) = \left( \sum_{i=0}^n c_i \varphi_i(x) \right)^{(k)} = \sum_{i=0}^n c_i \varphi_i^{(k)}(x). \quad (5.8)$$

## 5.1 МЕТОДЫ РЕШЕНИЯ

Данная лабораторная работа выполняется по вариантам. Первый вариант – это метод Ньютона, второй – Лагранжа. Эти полиномы являются степенными.

Известно, что через две точки можно провести одну и только одну прямую, через три – одну и только одну параболу и т.д. Поэтому, через  $n+1$  точку  $\{x_i\}$  можно провести одну и только одну кривую порядка  $n$ . Отсюда можно сделать два вывода. **Во-первых**, чем больше количество точек в заданной сетке, тем выше, в общем случае, будет степень полинома  $P(x)$ . Именно этим и объясняется осциллирующее поведение полиномов Ньютона и Лагранжа при большом количестве точек – просто их вид становится слишком сложным. Отметим, что для других интерполирующих полиномов это может быть и не так. Например, МНК, независимо от количества точек, дает полином, для которого выполняется условие (5.3). Т.е., если в качестве линейно-независимых функций взять  $\varphi_i(x) = x^i$ ,  $i = 1, 2, \dots, m$ , то можно построить, например, кубический полином для любого количества точек (при  $m = 3$ ). Порядок у него ниже, поэтому он более гладкий. При  $m = n$  МНК становится обычным интерполяционным полиномом. **Во-вторых**, полиномы Ньютона и Лагранжа совпадают, т.е. это просто две формы записи одного и того же полинома, и их можно преобразовать к следующему виду:

$$P_n(x) = \sum_{i=0}^n k_i x^i,$$

где  $k_i$  – некоторые константы. Индекс  $n$  у полинома указывает на его порядок.

При этом, каждым вариантом необходимо реализовать 6 задач:

- 1) вычисление полинома на равномерной сетке;
- 2) вычисление полинома на неравномерной сетке;
- 3) вычисление первой производной полинома на равномерной сетке;
- 4) вычисление первой производной полинома на неравномерной сетке;
- 5) вычисление второй производной полинома на равномерной сетке;
- 6) вычисление второй производной полинома на неравномерной сетке.

При использовании равномерной сетки вводится новая переменная

$$q = \frac{x - x_0}{h}, \quad (5.9)$$

и подставляется в полином и его производные. Таким образом, получается, что они зависят только от  $q$ , а  $x$  и  $\{x_i\}$  явным образом в них не входят. Т.е. имеем  $P(q)$ . Получить его можно самостоятельно, сделав замену (5.9) в полиноме  $P(x)$ .

Выигрыш состоит в том, что не нужно хранить в памяти узлы сетки  $\{x_i\}$ , поэтому ее используется примерно в два раза меньше.

### 5.1.1 Полином Ньютона

Полином Ньютона имеет вид (5.1), где

$$c_i = [x_0, \dots, x_i], \quad \varphi_i(x) = \prod_{j=0}^{i-1} (x - x_j),$$
$$\Rightarrow P_n(x) = \sum_{i=0}^n \left( [x_0, \dots, x_i] \cdot \prod_{j=0}^{i-1} (x - x_j) \right). \quad (5.10)$$

Здесь  $[x_i, \dots, x_j] = \frac{[x_{i+1}, \dots, x_j] - [x_i, \dots, x_{j-1}]}{x_j - x_i}$  – так называемые *разделенные разности*, а  $[x_i] = y_i$  (условно).

Запишем первую производную полинома Ньютона, согласно (5.8):

$$\begin{aligned} P'_n(x) &= \sum_{i=0}^n \left( [x_0, \dots, x_i] \cdot \left( \prod_{j=0}^{i-1} (x - x_j) \right)' \right) = \\ &= \sum_{i=1}^n \left( [x_0, \dots, x_i] \cdot \sum_{\substack{j=0 \\ k \neq j}}^{i-1} \prod_{k=0}^{i-1} (x - x_k) \right). \end{aligned} \quad (5.11)$$

Как видно, первое слагаемое, представляющее собой константу, обратилось в 0. Аналогично, во второй производной пропадают первые два слагаемых, т.к. второе слагаемое представляет собой линейную функцию. Из (5.8) имеем:

$$\begin{aligned} P''_n(x) &= \sum_{i=0}^n \left( [x_0, \dots, x_i] \cdot \left( \prod_{j=0}^{i-1} (x - x_j) \right)'' \right) = \\ &= \sum_{i=2}^n \left( [x_0, \dots, x_i] \cdot \sum_{\substack{j=0 \\ k \neq j}}^{i-1} \sum_{\substack{k=0 \\ l \neq k \\ l \neq j}}^{i-1} \prod_{l=0}^{i-1} (x - x_l) \right). \end{aligned} \quad (5.12)$$

Вид полинома Ньютона для равномерной сетки предлагается найти самостоятельно. При этом производится замена (5.9), вследствие чего переменная  $x$  и сетка  $\{x_i\}$  из полинома убираются. Разделенные разности заменяются *конечными разностями*:



$$\Delta^i y_j = \Delta^{i-1} y_{j+1} - \Delta^{i-1} y_j, \quad \Delta^0 y_j = y_j. \quad (5.13)$$

### 5.1.2 ПОЛИНОМ ЛАГРАНЖА

Полином Лагранжа также имеет вид (5.1), где

$$c_i = \frac{y_i}{\prod_{\substack{j=0 \\ j \neq i}}^n (x_i - x_j)}, \quad \varphi_i(x) = \prod_{\substack{j=0 \\ j \neq i}}^n (x - x_j),$$

$$\Rightarrow L_n(x) = \sum_{i=0}^n y_i \prod_{\substack{j=0 \\ j \neq i}}^n \frac{x - x_j}{x_i - x_j}. \quad (5.14)$$

Запишем первую и вторую производную полинома Лагранжа, согласно (5.8):

$$L'_n(x) = \sum_{i=0}^n \left( \frac{y_i}{\prod_{\substack{j=0 \\ j \neq i}}^n (x_i - x_j)} \left( \prod_{\substack{j=0 \\ j \neq i}}^n (x - x_j) \right)' \right) =$$

$$= \sum_{i=0}^n \left( \frac{y_i}{\prod_{\substack{j=0 \\ j \neq i}}^n (x_i - x_j)} \sum_{\substack{j=0 \\ j \neq i}}^n \prod_{\substack{k=0 \\ k \neq i \\ k \neq j}}^n (x - x_k) \right). \quad (5.15)$$

$$L''_n(x) = \sum_{i=0}^n \left( \frac{y_i}{\prod_{\substack{j=0 \\ j \neq i}}^n (x_i - x_j)} \left( \prod_{\substack{j=0 \\ j \neq i}}^n (x - x_j) \right)'' \right) =$$

$$= \sum_{i=0}^n \left( \frac{y_i}{\prod_{\substack{j=0 \\ j \neq i}}^n (x_i - x_j)} \sum_{\substack{j=0 \\ j \neq i}}^n \sum_{\substack{k=0 \\ k \neq i \\ k \neq j}}^n \prod_{\substack{l=0 \\ l \neq i \\ l \neq j \\ l \neq k}}^n (x - x_l) \right). \quad (5.16)$$

Вид полинома Лагранжа для равномерной сетки также предлагается найти самостоятельно. При этом производится замена (5.9), вследствие чего переменная  $x$  и сетка  $\{x_i\}$  из полинома убираются.

## 5.2 ФОРМАТ ВХОДНЫХ ДАННЫХ

Формат входного файла:

- $k$  – порядок производной (0 – вычисляется сам полином, 1 – его первая производная, 2 – вторая производная);
- $n$  – порядок полинома;
- $s$  – любой символ или строка, задающая тип исходной сетки (равномерная/неравномерная);
- $a$   $b$  – границы отрезка (при равномерной сетке);
- $x_0 \dots x_n$  – узлы сетки (если она неравномерная);
- $y_0 \dots y_n$  – значения функции в узлах сетки;
- $m$  – количество интервалов в результирующей сетке (т.е. количество узлов –  $m + 1$ , что сделано для унификации с узлами исходной сетки);
- $x_0 \dots x_m$  – узлы результирующей сетки;
- $t$  – любой символ или строка, сообщающая, известно или нет аналитическое выражение для функции  $f(x)$ ;

$f(x)$  – аналитическое выражение для функции (если оно известно).

### 5.3 ФОРМАТ ВЫХОДНЫХ ДАННЫХ

Формат выходного файла:

$x_0$   $P^{(k)}(x_0)$  – значение полинома или его производных в узлах результирующей сетки;  
 $x_1$   $P^{(k)}(x_1)$   
 $\dots$   
 $x_m$   $P^{(k)}(x_m)$   
 $\varepsilon$  – СКО (если аналитическое выражение для функции известно).

## 6 ПРИБЛИЖЕНИЕ СПЛАЙНАМИ

Приближение сплайнами – еще один способ построения интерполирующих полиномов. В отличие от полиномов Ньютона и Лагранжа, степень которых зависит от количества узлов в исходной сетке, при построении сплайна его степень может варьироваться.

Так, мы можем построить линейные, параболические и кубические сплайны для сеток с произвольным количеством узлов. Следовательно, мы избавляемся от одного из недостатков интерполирующих полиномов, рассмотренных выше – сплайны имеют несложный математический вид и не осциллируют на сетках с большим количеством узлов (рис. 6.1).

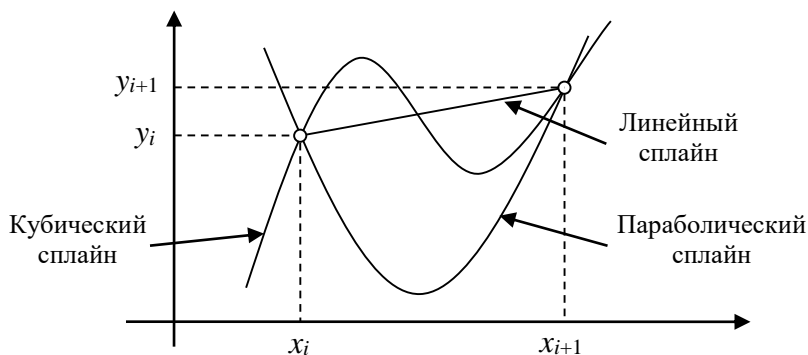


Рисунок 6.1 – Приближение сплайнами

Итак, сплайн строится между двумя узлами сетки. Если он линейный, то это прямая линия, если параболический – парабола, если кубический – кривая третьего порядка. Т.е. от количества узлов зависит только количество сплайнов, но не их порядок. Таким образом, для сетки  $\{x_i\}$

из  $n+1$  узла ( $i = 0, 1, \dots, n$ ) имеем  $n$  сплайнов  $S_i(x)$ ,  $i = 1, 2, \dots, n-1$ , аргумент  $x$  должен лежать в интервале от  $x_i$  до  $x_{i+1}$ .

Как мы уже знаем, по двум точкам прямая линия строится однозначно. Чтобы построить параболу, нужно либо задать еще одну точку, либо ввести так называемое *граничное условие*. Это значение не самой функции, а некоторой ее производной в одной из границ отрезка. В параболических сплайнах применяется первая производная. Чтобы построить кубическую кривую, надо либо задать еще две точки, либо ввести два граничных условия. В кубических сплайнах задают значение либо первой, либо второй производной в обеих границах отрезка. Хотя возможны и другие комбинации – значение первой и второй производной в одной из границ отрезка и т.п.

Очевидно, что для вычисления интерполированного значения в некоторой точке  $x$  необходимо определить, в область определения какого именно сплайна это значение попадает. Из рис. 6.1 видно, что за пределами своей области определения значения сплайнов перестают интерполировать функцию с достаточной точностью.

Для решения задач численного дифференцирования точности сплайнов уже не хватает.

## 6.1 МЕТОДЫ РЕШЕНИЯ

Для выполнения лабораторной работы необходимо реализовать в программе интерполяцию табличной функции линейными, кубическими и параболическими сплайнами.

Сплайны, как и все интерполирующие полиномы, имеют вид (5.1), но количество узлов  $n$  не равно порядку

сплайна  $m$ . Однако, следует учесть, что количество самих сплайнов равно  $n-1$ , т.е.

$$S_i(x) = \sum_{j=0}^m c_{ji} \varphi_{ji}(x), \quad \varphi_{ji}(x) = (x - x_i)^j$$

$$\Rightarrow S_i(x) = \sum_{j=0}^m c_{ji} (x - x_i)^j, \quad i = 0, 1, \dots, n-1, \quad m = 1, 2, 3. \quad (6.1)$$

Чтобы не использовать константы  $c$  с двумя индексами, вводят коэффициенты сплайна  $a_i = c_{0i}$ ,  $b_i = c_{1i}$ ,  $c_i = c_{2i}$ ,  $d_i = c_{3i}$ .

### 6.1.1 ЛИНЕЙНЫЕ СПЛАЙНЫ

Согласно (6.1), линейный сплайн имеет вид

$$S_i(x) = a_i + b_i(x - x_i), \quad i = 0, 1, \dots, n-1. \quad (6.2)$$

При этом

$$a_i = y_i, \quad b_i = \frac{\Delta y_i}{\Delta x_i}. \quad (6.3)$$

Здесь  $\Delta x_i = x_{i+1} - x_i$ ,  $\Delta y_i = y_{i+1} - y_i$ .

### 6.1.2 ПАРАБОЛИЧЕСКИЕ СПЛАЙНЫ

Из (6.1) получаем выражение для параболического сплайна:

$$S_i(x) = a_i + b_i(x - x_i) + c_i(x - x_i)^2, \quad (6.4)$$

$$i = 0, 1, \dots, n-1.$$

Для коэффициентов  $a_i$  и  $c_i$  имеем

$$a_i = y_i, \quad c_i = \frac{b_{i+1} - b_i}{2\Delta x_i}. \quad (6.5)$$

Граничным условием для параболического сплайна является значение первой производной функции в первой либо последней точке отрезка, т.е.  $A_i = f'(x_i)$ , где  $i = 0$  или  $n$ .

Во входном файле задается точка (0 или  $n$ ) и значение производной в ней.

Если задано число  $A_0$ , то коэффициенты  $b_i$  ищутся, начиная с  $b_0$ :

$$b_0 = A_0, \quad b_{i+1} = \frac{2\Delta y_i}{\Delta x_i} - b_i, \quad i = 0, 1, \dots, n-2. \quad (6.6)$$

Если задано число  $A_n$ , то коэффициенты  $b_i$  ищутся, начиная с  $b_n$ :

$$b_n = A_n, \quad b_i = \frac{2\Delta y_i}{\Delta x_i} - b_{i+1}, \quad i = n-1, n-2, \dots, 0. \quad (6.7)$$

### 6.1.3 КУБИЧЕСКИЕ СПЛАЙНЫ

По аналогии, из (6.1) получаем для кубического сплайна

$$S_i(x) = a_i + b_i(x - x_i) + c_i(x - x_i)^2 + d_i(x - x_i)^3, \quad (6.8)$$

$$i = 0, 1, \dots, n-1.$$

Коэффициенты ищутся следующим образом:

$$a_i = y_i, \quad c_i = \frac{1}{2}M_i, \quad d_i = \frac{M_{i+1} - M_i}{6\Delta x_i}. \quad (6.9)$$

Для коэффициентов  $b_i$

$$b_i = \frac{\Delta y_i}{\Delta x_i} - \frac{\Delta x_i}{6}(2M_i + M_{i+1}), \quad i = 0, 1, \dots, n-1 \quad (6.10)$$

или

$$b_i = \frac{\Delta y_{i-1}}{\Delta x_{i-1}} - \frac{\Delta x_{i-1}}{6}(2M_i + M_{i-1}), \quad i = 1, 2, \dots, n. \quad (6.11)$$

Неизвестные  $M_i$  находятся из решения СЛАУ

$$AM = g, \quad (6.12)$$

где

$$A = \begin{cases} a_{jj} = \frac{1}{3}(\Delta x_{j-1} + \Delta x_j), & j = 1, 2, \dots, n-1; \\ a_{j,j+1} = a_{j+1,j} = \frac{1}{6}\Delta x_j, & j = 1, 2, \dots, n-2; \end{cases} \quad (6.13)$$

$$g_i = \frac{\Delta y_i}{\Delta x_i} - \frac{\Delta y_{i-1}}{\Delta x_{i-1}} - \beta_1 - \beta_{n-1}, \quad i = 1, 2, \dots, n-1,$$

$$\text{где } \beta_1 = \begin{cases} \frac{\Delta x_0}{6} B_0, & i = 1 \\ 0, & i \neq 1 \end{cases} \quad (6.14)$$

$$\beta_{n-1} = \begin{cases} \frac{\Delta x_{n-1}}{6} B_n, & i = n-1 \\ 0, & i \neq n-1 \end{cases}$$

$$M = (M_1, M_2, \dots, M_{n-1}).$$

Для кубического сплайна можно выбрать любой тип граничных условий (либо по первой, либо по второй производной). Соответственно, во входном файле будут находиться значения первой ( $A_0$  и  $A_n$ ) или второй ( $B_0$  и  $B_n$ ) производной в первой и последней точке отрезка.

Если граничные условия заданы по второй производной, то  $M_0 = B_0$ ,  $M_n = B_n$ , а остальные неизвестные  $M_i$  находятся решением СЛАУ (6.12).

Если граничные условия заданы по первой производной, то  $b_0 = A_0$ ,  $b_n = A_n$ . Тогда к системе можно добавить еще два уравнения, используя (6.10) при  $i = 0$  и (6.11) при  $i = n$ , а также перенести в левую часть СЛАУ слагаемые с неизвестными коэффициентами из выражений для  $g_1$  и  $g_{n-1}$ . Получим модифицированную СЛАУ

$$\tilde{A}M = \tilde{g}, \quad (6.15)$$

где



$$\tilde{A} = \begin{cases} \tilde{a}_{00} = \frac{\Delta x_0}{3}; \quad \tilde{a}_{nn} = \frac{\Delta x_{n-1}}{3}; \\ \tilde{a}_{jj} = \frac{1}{3}(\Delta x_{j-1} + \Delta x_j), \quad j = 1, 2, \dots, n-1; \\ \tilde{a}_{j,j+1} = \tilde{a}_{j+1,j} = \frac{1}{6} \Delta x_j, \quad j = 0, 1, \dots, n-1; \end{cases} \quad (6.16)$$

$$\tilde{g} = \begin{cases} \tilde{g}_0 = \frac{\Delta y_0}{\Delta x_0} - A_0; \quad \tilde{g}_n = A_n - \frac{\Delta y_{n-1}}{\Delta x_{n-1}}; \\ \tilde{g}_i = \frac{\Delta y_i}{\Delta x_i} - \frac{\Delta y_{i-1}}{\Delta x_{i-1}}, \quad i = 1, 2, \dots, n-1; \end{cases} \quad (6.17)$$

$$M = (M_0, M_1, M_2, \dots, M_n).$$

Трехдиагональные СЛАУ (6.12) и (6.15) можно решать любым методом решения СЛАУ. Однако, учитывая их структуру, оптимальным будет использование *метода прогонки*.

#### 6.1.4 МЕТОД ПРОГОНКИ

Пусть имеется трехдиагональная СЛАУ  $Ax = b$  размера  $n \times n$ . Ее решение методом прогонки строится следующим образом:

$$x_i = \frac{1}{v_i} (r_i - a_{i,i-1} x_{i-1}), \quad i = 1, 2, \dots, n; \quad (6.18)$$

$$r_i = b_i - \frac{a_{i,i+1}}{v_{i+1}} r_{i+1}, \quad v_i = a_{ii} - \frac{a_{i,i+1} a_{i+1,i}}{v_{i+1}}, \quad (6.19)$$

$$i = n-1, n-2, \dots, 1.$$

При этом полагаем, что

$$v_n = a_{nn}, \quad r_n = b_n, \quad a_{10} = 0, \quad x_0 = 0. \quad (6.20)$$

## 6.2 ФОРМАТ ВХОДНЫХ ДАННЫХ

Формат входного файла:

- $k$  – порядок сплайна (1 – линейный, 2 – параболический, 3 – кубический);
- $n$  – количество сплайнов;
- $x_0 \dots x_n$  – узлы сетки;
- $y_0 \dots y_n$  – значения функции в узлах сетки;
- $i$   $A_i$  – граничные условия (для  $k = 2$ );
- $B_0$   $B_n$  – граничные условия (для  $k = 3$ );
- $m$  – количество интервалов в результирующей сетке (т.е. количество узлов –  $m + 1$ , что сделано для унификации с узлами исходной сетки);
- $x_0 \dots x_m$  – узлы результирующей сетки;
- $t$  – любой символ или строка, сообщающая, известно или нет аналитическое выражение для функции  $f(x)$ ;
- $f(x)$  – аналитическое выражение для функции (если оно известно).

## 6.3 ФОРМАТ ВЫХОДНЫХ ДАННЫХ

Формат выходного файла:

- $a_0$   $b_0$   $c_0$   $d_0$  – коэффициенты сплайнов  
 $a_1$   $b_1$   $c_1$   $d_1$  (естественно, что коэффициенты  $c$  указываются только для  
 $\dots$   $a_{n-1}$   $b_{n-1}$   $c_{n-1}$   $d_{n-1}$   $k = 2$  и  $k = 3$ , коэффициенты  $d$  –  
только для  $k = 3$ );
- $x_0$   $S(x_0)$  – значение сплайна в узлах результирующей сетки;  
 $x_1$   $S(x_1)$   
 $\dots$

$x_m$   $S(x_m)$

$\varepsilon$

– СКО (если аналитическое выражение для функции известно).

## 7 ЧИСЛЕННОЕ ИНТЕГРИРОВАНИЕ ФУНКЦИЙ

Численное интегрирование функций – весьма важный раздел численных методов. При помощи интегралов решается широкий спектр практических задач, самые распространенные из которых – вычисление объемов и площадей тел, длин кривых и т.д. Помимо очевидного преимущества ЭВМ при проведении сложных расчетов, вспомним еще тот факт, что не все интегралы имеют первообразную, а значит, не все интегралы могут быть вычислены аналитически.

В данной лабораторной работе мы будем находить интегралы двумя способами. Первый заключается в интегрировании интерполяционных полиномов. Т.е. исходная функция заменяется некоторым интерполяционным полиномом, который легко интегрировать:

$$\begin{aligned} I &= \int_{\alpha}^{\beta} f(x) dx \approx \int_{\alpha}^{\beta} \sum_{i=0}^k c_i \varphi_i(x) dx = \sum_{i=0}^k c_i \int_{\alpha}^{\beta} \varphi_i(x) dx = \\ &= \sum_{i=0}^k c_i \Phi_i(x) \Big|_{\alpha}^{\beta} = \sum_{i=0}^k I_i. \end{aligned} \quad (7.1)$$

По аналогии с интерполяционными полиномами, для этого класса методов численного интегрирования задается исходная сетка  $\{x_i\}$  и значение функции в узлах сетки  $\{y_i\}$ ,  $i = 0, 1, \dots, n$ . Если сетка равномерная, то достаточно знать границы отрезка  $a$  и  $b$ , а узлы при необходимости вычисляются по формулам (5.5) и (5.6).

Второй способ заключается в нахождении интеграла на отрезке  $[-1, 1]$  с подбором оптимальных узлов интегрирования:

$$I' = \int_{-1}^1 f(t) dt = \sum_{i=1}^n c_i f(t_i). \quad (7.2)$$

Узлы  $t_i$  подбираются таким образом, чтобы формула (7.2) была точной для степенного полинома максимально возможного порядка. При переходе к отрезку  $[a, b]$  имеем

$$I = \int_a^b f(x) dx = \frac{b-a}{2} \sum_{i=1}^n c_i f(x_i), \quad (7.3)$$

$$x_i = \frac{b+a}{2} + \frac{b-a}{2} t_i. \quad (7.4)$$

Существуют и другие подходы к вычислению интегралов. Например, статистические, или вероятностные (как и вероятностные методы решения СЛАУ, различные модификации этих методов называются методами Монте-Карло). Например, вычислить объем шара радиуса  $R$  статистически можно следующим образом. Будем случайным образом задавать  $N$  точек  $(x_i, y_i, z_i)$ , лежащие в кубе, в который вписан шар (т.е. каждая из координат должна лежать в диапазоне  $[-R, R]$ ). Подсчитаем также количество точек  $M$ , оказавшихся внутри шара, т.е. для которых выполняется условие

$$x_i^2 + y_i^2 + z_i^2 \leq R^2,$$

Очевидно, что отношение объемов куба и шара будет приблизительно пропорционально отношению общего количества точек и количества точек, попавших внутрь шара:

$$\frac{V_K}{V_{III}} \approx \frac{N}{M}.$$

Чем больше количество точек  $N$ , тем точнее будет выполняться данное соотношение, т.е.

$$\lim_{N \rightarrow \infty} \frac{N}{M} = \frac{V_K}{V_{III}}.$$

Учитывая, что  $V_K = 8R^3$ , получим

$$V_{\text{ш}} = 8R^3 \cdot \frac{M}{N}.$$

## 7.1 МЕТОДЫ РЕШЕНИЯ

Предлагается реализовать четыре обязательных метода численного интегрирования функций – левосторонних и правосторонних прямоугольников, трапеций, Симпсона и, по желанию, один из двух дополнительных – Чебышева или Гаусса.

### 7.1.1 ФОРМУЛЫ ПРЯМОУГОЛЬНИКОВ

В формуле левосторонних прямоугольников полагаем, что на отрезке  $[x_i, x_{i+1}]$  функция  $\varphi_i(x) = 1$ ,  $c_i = y_i$  (рис. 7.1).

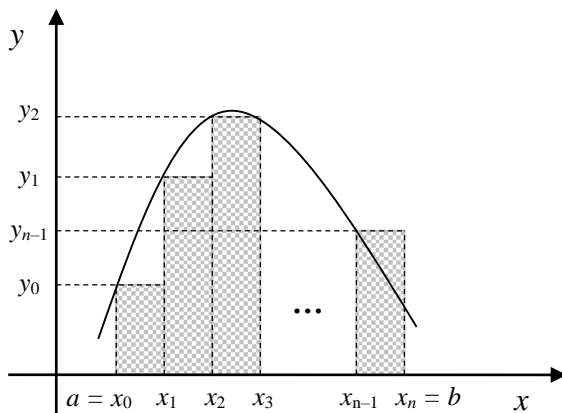


Рисунок 7.1 – Интегрирование левосторонней формулой прямоугольников

Очевидно, что  $\Phi_i(x) = x$ ,  $k = n-1$ . Тогда из (7.1) получаем:

$$I = \int_{x_0}^{x_n} f(x) dx \approx \sum_{i=0}^{n-1} y_i x \Big|_{x_i}^{x_{i+1}} = \sum_{i=0}^{n-1} y_i h_i, \quad (7.5)$$

$$h_i = \Delta x_i = x_{i+1} - x_i.$$

Если сетка равномерная, то

$$I = \int_{x_0}^{x_n} f(x) dx \approx h \sum_{i=0}^{n-1} y_i. \quad (7.6)$$

В формуле правосторонних прямоугольников полагаем, что на отрезке  $[x_i, x_{i+1}]$  функция  $\varphi_i(x) = 1$ ,  $c_i = y_{i+1}$  (рис. 7.2).

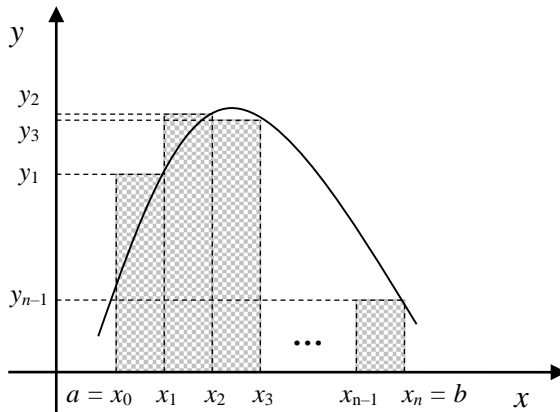


Рисунок 7.2 – Интегрирование правосторонней формулой прямоугольников

Тогда  $\Phi_i(x) = x$ ,  $k = n-1$ , и из (7.1) получаем

$$I = \int_{x_0}^{x_n} f(x) dx \approx \sum_{i=0}^{n-1} y_{i+1} x \Big|_{x_i}^{x_{i+1}} = \sum_{i=0}^{n-1} y_{i+1} h_i. \quad (7.7)$$

Если сетка равномерная, то

$$I = \int_{x_0}^{x_n} f(x) dx \approx h \sum_{i=0}^{n-1} y_{i+1} = h \sum_{i=1}^n y_i. \quad (7.8)$$

### 7.1.2 ФОРМУЛА ТРАПЕЦИЙ

В *формуле трапеций* полагаем, что функция на отрезке  $[x_i, x_{i+1}]$  заменяется прямой линией, соединяющей точки  $(x_i, y_i)$  и  $(x_{i+1}, y_{i+1})$  (рис. 7.3).

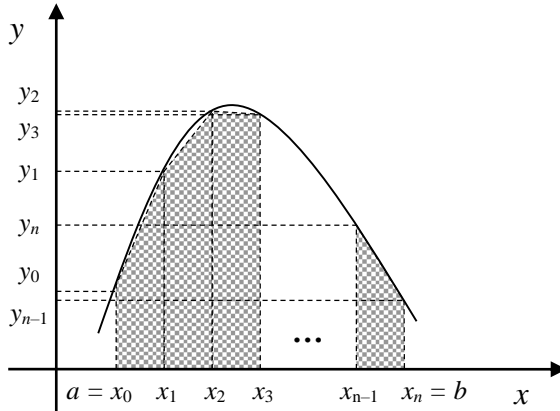


Рисунок 7.3 – Интегрирование формулой трапеций

Несложно записать уравнение прямой, проходящей через две точки:

$$c_i \varphi_i(x) = \frac{y_{i+1} - y_i}{h_i} (x - x_i) + y_i.$$

Интегрируем:

$$c_i \Phi_i(x) = \frac{y_{i+1} - y_i}{2h_i} (x - x_i)^2 + y_i x$$

$$\Rightarrow I_i = c_i \Phi_i(x) \Big|_{x_i}^{x_{i+1}} = \frac{1}{2} (y_{i+1} + y_i) h_i. \quad (7.9)$$

Это же выражение можно легко получить из геометрических соображений (см. рис. 7.3).

Есть и еще один способ вывода данной формулы. Очевидно, что на каждом интервале функция заменяется поли-



номом первого порядка. Нам уже известны полиномы, интерполирующие табличную функцию по  $p+1$  точке и дающие при этом степенной полином порядка  $p$  – это полиномы Ньютона и Лагранжа. Как уже было сказано, они являются разной формой записи одного и того же полинома, поэтому их применение даст одинаковый результат. Возьмем, например, полином Лагранжа. Тогда

$$\begin{aligned}
 I_r &= \int_{x_r}^{x_{r+p}} L_p(x) dx = \int_{x_r}^{x_{r+p}} \left( \sum_{i=r}^{r+p} y_i \prod_{\substack{j=r \\ j \neq i}}^{r+p} \frac{x - x_j}{x_i - x_j} \right) dx = \\
 &= \sum_{i=r}^{r+p} y_i \int_{x_r}^{x_{r+p}} \prod_{\substack{j=r \\ j \neq i}}^{r+p} \frac{x - x_j}{x_i - x_j} dx = \sum_{i=r}^{r+p} y_i A_i = \sum_{i=0}^p y_{r+i} A_{r+i}^*. \quad (7.10)
 \end{aligned}$$

Здесь  $A^*$  – некоторые *квадратурные коэффициенты*. Если сетка равномерная, то делаем замену (5.9):

$$I_r = \int_{x_r}^{x_{r+p}} L_p(q) dx = h \int_r^{r+p} L_p(q) dq = h \sum_{i=0}^p y_{r+i} A_i. \quad (7.11)$$

Т.к. сетка равномерная, квадратурные коэффициенты не зависят от индекса  $r$ . Используем выражение (5.6) и введем новые коэффициенты  $H_i$ :

$$I_r = \frac{(x_{r+p} - x_r)}{p} \sum_{i=0}^p y_{r+i} A_i = ph \sum_{i=0}^p y_{r+i} H_i, \quad (7.12)$$

$$\text{где } H_i = \frac{1}{p} \int_0^p L_p(q) dq. \quad (7.13)$$

Коэффициенты  $H_i$  называются *коэффициентами Ньютона-Котеса*. Для построения полинома первого порядка нужны всего две точки (т.е.  $p = 1$ ), поэтому сетку можно считать равномерной. Интегрируя (7.13), получим

$$H_0 = H_1 = \frac{1}{2} \Rightarrow I_r = h_r \left( \frac{1}{2} y_r + \frac{1}{2} y_{r+1} \right). \quad (7.14)$$

Т.е. полученное выражение совпадает с (7.9). Остается только просуммировать по всем интервалам:

$$I = \sum_{i=0}^{n-1} I_i = \frac{1}{2} \sum_{i=0}^{n-1} h_i (y_i + y_{i+1}). \quad (7.15)$$

Если сетка равномерная, то

$$I = \frac{h}{2} \sum_{i=0}^{n-1} (y_i + y_{i+1}) = \frac{h}{2} \left( y_0 + 2 \sum_{i=1}^{n-1} y_i + y_n \right). \quad (7.16)$$

### 7.1.3 ФОРМУЛА СИМПСОНА

Для повышения точности интегрирования можно использовать полиномы более высокого порядка. Так, для  $p = 2$  получаем *формулу Симпсона*. Полином (парабола) строится по трем точкам, поэтому имеет значение, равномерная сетка или нет. Отрезки для интегрирования берутся парами, поэтому количество интервалов интегрирования должно быть четным (т.е.  $n = 2m$ ,  $m = 1, 2, \dots$ ). Интегрируя (7.10), получаем

$$I_r = \frac{h_{r+1} + h_r}{6h_{r+1}h_r} \left( h_{r+1} (2h_r - h_{r+1}) y_r + \right. \\ \left. + (h_{r+1} + h_r)^2 y_{r+1} + h_r (2h_{r+1} - h_r) y_{r+2} \right), \\ I = \sum_{r=0}^{m-1} I_{2r}. \quad (7.17)$$

Для равномерной сетки по формулам (7.12) и (7.13) получаем (при этом все  $h_r = h$ ):

$$H_0 = \frac{1}{6}, \quad H_1 = \frac{4}{6}, \quad H_2 = \frac{1}{6}$$

$$\Rightarrow I_r = 2h \left( \frac{1}{6} y_r + \frac{4}{6} y_{r+1} + \frac{1}{6} y_{r+2} \right). \quad (7.18)$$

Суммируем по всем интервалам:

$$\begin{aligned} I &= \frac{2h}{6} \sum_{i=0}^{m-1} (y_{2i} + 4y_{2i+1} + y_{2i+2}) = \\ &= \frac{2h}{6} \left( y_0 + 4 \sum_{i=0}^{m-1} y_{2i+1} + 2 \sum_{i=1}^{m-1} y_{2i} + y_{2m} \right). \end{aligned} \quad (7.19)$$

#### 7.1.4 ФОРМУЛА ЧЕБЫШЕВА

Формула Чебышева получается из несколько других соображений (7.2–7.4). При этом

$$c_i = \frac{2}{n} \Rightarrow I = \frac{b-a}{n} \sum_{i=1}^n f(x_i). \quad (7.20)$$

Узлы  $x_i$  находятся согласно (7.4). При этом абсциссы точек интегрирования  $t_i$  находятся как решение СНУ:

$$t_1^i + t_2^i + \dots + t_n^i = \frac{n \left[ 1 + (-1)^i \right]}{2(i+1)}, \quad i = 1, 2, \dots, n. \quad (7.21)$$

Формула Чебышева является точной для всех полиномов до степени  $n$  включительно. Недостатком формулы Чебышева является то, что система (7.21) не имеет действительных решений при  $n = 8$  и при  $n \geq 10$ .

#### 7.1.5 ФОРМУЛА ГАУССА

Формула Гаусса также соответствует выражениям (7.2–7.4). Выглядит она идентично формуле (7.3):

$$I = \frac{b-a}{2} \sum_{i=1}^n A_i f(x_i). \quad (7.22)$$

Узлы  $x_i$ , аналогично, находятся согласно (7.4), а абсциссы точек интегрирования  $t_i$  являются нулями *полинома Лежандра*

$$P_n(t) = \frac{1}{2^n \cdot n!} \frac{d^n}{dt^n} (t^2 - 1)^n. \quad (7.23)$$

Известно, что эти нули действительны, различны и лежат на отрезке  $[-1, 1]$ . Коэффициенты  $A_i$  определяются решением СЛАУ

$$\sum_{i=1}^n A_i t_i^{j-1} = \frac{1 - (-1)^j}{j}, \quad j = 1, 2, \dots, n. \quad (7.24)$$

Определитель этой системы есть определитель Вандермонда

$$D = \prod_{i=1}^n \prod_{j=i+1}^n (t_j - t_i) \neq 0,$$

следовательно, система (7.24) имеет единственное решение.

Формула Гаусса является точной для всех полиномов до степени  $2n-1$  включительно.

### 7.1.6 Вычисления с заданной точностью

Рассмотрим случай, когда необходимо вычислить интеграл с заданной точностью, при этом точное значение интеграла не известно. В этом случае сначала интеграл считается на некоторой начальной сетке с количеством интервалов интегрирования  $n_0 = n$ . Обозначим полученное значение интеграла как  $I_0$ . Затем, аналогично, на сетке с количеством интервалов  $n_1 = \alpha \cdot n_0$  ( $\alpha > 1$ ) находим значение интеграла  $I_1$ . Считая, что значение  $I_1$  найдено с большей точностью (т.к. сетка более частая), условно примем его за точное значение. Тогда относительную погрешность интегрирования можно оценить по формуле

$$\delta = \left| \frac{I_1 - I_0}{I_1} \right|. \quad (7.25)$$

Если она удовлетворяет заданной погрешности, то вычисления можно прекращать, иначе добавляем в сетку новые узлы и продолжаем процесс. В общем случае,

$$n_k = \alpha \cdot n_{k-1} = \alpha^k \cdot n_0, \quad (7.26)$$

а процесс завершается при

$$\delta = \left| \frac{I_k - I_{k-1}}{I_k} \right| < \varepsilon, \quad k = 1, 2, \dots \quad (7.27)$$

Для упрощения разбиения отрезка интегрирования на интервалы, часто полагают  $\alpha = 2$ .

### **Примечания.**

1. Формула для расчета относительной погрешности даст деление на ноль, если какой-либо из интегралов  $I_k$  получится равным нулю. Тогда погрешность интегрирования можно оценить по формуле для абсолютной погрешности:

$$\Delta = |I_k - I_{k-1}|. \quad (7.28)$$

2. Т.к. в методах Чебышева и Гаусса количество отрезков интегрирования влияет на размер системы уравнений для поиска коэффициентов, то порядок формулы фиксируется, а повышение точности интегрирования достигается ее кратным применением на заданном отрезке.

## **7.2 ФОРМАТ ВХОДНЫХ ДАННЫХ**

Формат входного файла:

$m$  – формула интегрирования (в порядке их перечисления в п. 7.1), при  $m = 5$  используется дополнительный метод;

- g – любой символ или строка, задающие тип сетки: равномерная, неравномерная, динамическая (при  $m \neq 5$ );
- n – количество интервалов интегрирования (если используется формула Симпсона, то кратно двум);
- k – порядок формулы Чебышева или Гаусса (при  $m = 5$ );
- a b – границы отрезка (если сетка не является неравномерной или  $m = 5$ );
- $x_0 \dots x_n$  – узлы сетки (если она неравномерная);
- s – любой символ или строка, определяющие способ задания функции, если сетка не динамическая и  $m \neq 5$  (табличная, аналитическая);
- $y_0 \dots y_n$  – значения функции в узлах сетки (если она задана таблично);
- $f(x)$  – аналитическое выражение для функции (если сетка динамическая или  $m = 5$ );
- $\varepsilon$  – точность вычисления интеграла на динамической сетке.

### 7.3 ФОРМАТ ВЫХОДНЫХ ДАННЫХ

Формат выходного файла:

- I – значение интеграла;
- k – количество итераций (для динамической сетки);
- $\varepsilon^*$  – достигнутая точность (для динамической сетки);

- $t_i$  – абсциссы точек интегрирования (при  $m = 5$ );
- $A_i$  – коэффициенты  $A_i$  для формулы Гаусса.

## 8 РЕШЕНИЕ ОБЫКНОВЕННЫХ ДИФФЕРЕНЦИАЛЬНЫХ УРАВНЕНИЙ

О необходимости численных методов решения уравнений и систем уравнений мы уже говорили. Рассмотрим ситуацию, когда уравнения и системы уравнений включают дифференциалы. Отметим также, что не все ДУ имеют аналитическое решение, например,

$$y' = x^2 + y^2.$$

Другой пример. Уравнение

$$y' = \frac{y - x}{y + x}$$

имеет решение

$$\frac{1}{2} \ln(x^2 + y^2) + \operatorname{arctg} \frac{y}{x} = C.$$

Здесь (и далее)  $C$  – произвольная константа. Т.о., хотя ДУ и имеет решение, но выразить в чистом виде функцию  $y(x)$  из него невозможно.

В общем случае, ОДУ имеет следующий вид:

$$y^{(n)} = f(x, y(x), y'(x), \dots, y^{(n-1)}(x)). \quad (8.1)$$

Его решением является семейство функций  $y(x) + C$ . Фиксируем одну из них, удовлетворяющую  $n$  начальным условиям

$$\begin{cases} y(x_0) = y_0, \\ y'(x_0) = y'_0, \\ \dots, \\ y^{(n-1)}(x_0) = y_0^{(n-1)}. \end{cases} \quad (8.2)$$



В дальнейшем для сокращения формул вместо  $y^{(i)}(x)$  будем использовать запись  $y^{(i)}$ .

Если речь идет о системе ОДУ, то имеем

$$y_k^{(n)} = f_k \left( x, y_1, \dots, y_p, y_1', \dots, y_p', y_1^{(n-1)}, \dots, y_p^{(n-1)} \right), \quad (8.3)$$

$$k = 1, 2, \dots, p.$$

Ее решением является семейство функций  $y_k(x) + C_k$ . Фиксируем систему из  $p$  функций, удовлетворяющих  $p \cdot n$  начальным условиям

$$\begin{cases} y_k(x_0) = y_{0k}, \\ y_k'(x_0) = y_{0k}', \\ \dots, \\ y_k^{(n-1)}(x_0) = y_{0k}^{(n-1)}. \end{cases} \quad (8.4)$$

## 8.1 МЕТОДЫ РЕШЕНИЯ

В данной лабораторной работе будем применять *методы Рунге-Кутты* для решения ОДУ первого порядка, решения систем ОДУ и решения ОДУ  $n$ -го порядка.

### 8.1.1 РЕШЕНИЕ ОДУ ПЕРВОГО ПОРЯДКА

ОДУ первого порядка, согласно (8.1), имеет вид

$$y' = f(x, y).$$

Т.е. просто полагаем  $n = 1$ . При этом задано начальное условие  $y_0 = y(x_0)$ .

Решение ОДУ первого порядка методом Рунге-Кутты выглядит следующим образом:

$$y(x_{i+1}) = y(x_i) + \sum_{j=1}^q p_j k_j(h_i), \quad (8.5)$$

где  $q$  – порядок точности. Будем рассматривать 4 порядка точности. При этом

$$k_j(h_i) = h_i \cdot f \left( x_i + \alpha_j h_i, y(x_i) + \sum_{r=1}^{j-1} \beta_{jr} k_r(h_i) \right). \quad (8.6)$$

При  $q = 1$  (первый порядок точности) имеем

$$\begin{cases} p_1 = 1, \\ \alpha_1 = 0. \end{cases} \quad (8.7)$$

При  $q = 2$  (второй порядок точности) коэффициент  $p_1$  можно выбрать любой в диапазоне  $[0,1)$ , а далее

$$\begin{cases} p_2 = 1 - p_1, \\ \alpha_1 = 0, \quad \alpha_2 = \beta_{21} = \frac{1}{2p_2}. \end{cases} \quad (8.8)$$

Например,

$$\begin{cases} p_1 = \frac{1}{2}, \quad p_2 = \frac{1}{2}, \\ \alpha_1 = 1, \quad \beta_{21} = 1 \end{cases}$$

или

$$\begin{cases} p_1 = 0, \quad p_2 = 1, \\ \alpha_1 = \frac{1}{2}, \quad \beta_{21} = \frac{1}{2}. \end{cases}$$

При  $q = 3$  (третий порядок точности)

$$\begin{cases} p_1 = p_3 = \frac{1}{6}, \quad p_2 = \frac{4}{6}, \\ \alpha_1 = 0, \quad \alpha_2 = \frac{1}{2}, \quad \alpha_3 = 1, \\ \beta_{21} = \frac{1}{2}, \quad \beta_{31} = -1, \quad \beta_{32} = 2. \end{cases} \quad (8.9)$$

При  $q = 4$  (четвертый порядок точности)

$$\left\{ \begin{array}{l} p_1 = p_4 = \frac{1}{6}, \quad p_2 = p_3 = \frac{2}{6}, \\ \alpha_1 = 0, \quad \alpha_2 = \frac{1}{2}, \quad \alpha_3 = \frac{1}{2}, \quad \alpha_4 = 1, \\ \beta_{21} = \frac{1}{2}, \quad \beta_{31} = 0, \quad \beta_{32} = \frac{1}{2}, \\ \beta_{41} = 0, \quad \beta_{42} = 0, \quad \beta_{43} = 1. \end{array} \right. \quad (8.10)$$

### 8.1.2 РЕШЕНИЕ СИСТЕМ ОДУ

Пусть имеется система ОДУ (8.3) и начальные условия (8.4). Поскольку в общем случае решение получается громоздким, будем рассматривать систему ДУ первого порядка (далее – СДУ), т.е.  $n = 1$ :

$$\begin{aligned} y'_k &= f_k(x, y_1, y_2, \dots, y_p), \quad y_{0k} = y_k(x_0), \\ k &= 1, 2, \dots, p. \end{aligned} \quad (8.11)$$

По аналогии с (8.5), решение СДУ будет иметь вид

$$y_k(x_{i+1}) = y_k(x_i) + \sum_{j=1}^q p_j k_{jk}(h_i), \quad (8.12)$$

$$\begin{aligned} k_{jk}(h_i) &= h_i \cdot f_k \left( x_i + \alpha_j h_i, y_1(x_i) + \sum_{r=1}^{j-1} \beta_{jr} k_{r1}(h_i), \right. \\ &\left. y_2(x_i) + \sum_{r=1}^{j-1} \beta_{jr} k_{r2}(h_i), \dots, y_p(x_i) + \sum_{r=1}^{j-1} \beta_{jr} k_{rp}(h_i) \right). \end{aligned} \quad (8.13)$$

Коэффициенты  $p$ ,  $\alpha$  и  $\beta$  ищутся по формулам (8.7–8.10) для соответствующего порядка точности.

### 8.1.3 РЕШЕНИЕ ОДУ $n$ -ГО ПОРЯДКА

Имеем ОДУ  $n$ -го порядка (8.1) с граничными условиями (8.2). Введем обозначения

$$\begin{cases} y(x) = y_1(x), \\ y'(x) = y_2(x), \\ \dots, \\ y^{(n-1)}(x) = y_n(x). \end{cases} \quad (8.14)$$

Очевидно, что

$$\begin{cases} y'_i(x) = y_{i+1}(x), \quad i = 1, 2, \dots, n-1; \\ y'_n(x) = f(x, y_1, y_2, \dots, y_n). \end{cases} \quad (8.15)$$

Таким образом, мы получили СДУ (8.11), в которой

$$\begin{cases} f_i(x, y_1, y_2, \dots, y_n) = y_{i+1}, \quad i = 1, 2, \dots, n-1; \\ f_n(x, y_1, y_2, \dots, y_n) = f(x, y_1, y_2, \dots, y_n). \end{cases} \quad (8.16)$$

Полученную систему решаем согласно (8.12) и (8.13).

## 8.2 ФОРМАТ ВХОДНЫХ ДАННЫХ

Формат входного файла:

- t – тип задачи (в том порядке, в котором они рассмотрены в п. 8.1);
- p – количество уравнений в СДУ (при  $t = 2$ );
- n – порядок ДУ (при  $t = 3$ );
- q – порядок точности;
- g – любой символ или строка, задающие тип сетки (равномерная, неравномерная);
- m – количество интервалов;
- a b – границы отрезка (если сетка равномерная);
- x<sub>0</sub>...x<sub>m</sub> – узлы сетки (если она неравномерная);
- y<sub>0</sub> – граничные условия (количество определяется типом задачи);
- f – аналитическое выражение для функции (8.1) при  $t = 1$  или  $t = 3$ ;

- $f_1,$  – система функций (8.3) при  $t = 2$ .  
 $f_2,$   
 $\dots,$   
 $f_p$   
 $a$  – любой символ или строка, сообщающая, известно или нет точное аналитическое решение  $y(x)$  или  $y_k(x)$ ;  
 $y$  – точное аналитическое решение  $y(x)$  или  $y_k(x)$  (если оно известно).

Для того, чтобы воспользоваться модулем, вычисляющим значение аналитической функции, все переменные задачи нужно свести к векторному аргументу  $x$ :  $x_1 = x$ ,  $x_2 = y$ ,  $x_3 = y'$  и т.д.

### 8.3 ФОРМАТ ВЫХОДНЫХ ДАННЫХ

Формат выходного файла:

- $x_0 \ y_0$  – значения искомой функции в узлах  
 $x_1 \ y_1$  сетки (при  $t = 1$  или  $t = 3$ );  
 $\dots$   
 $x_m \ y_m$   
 $x_0 \ y_{10} \dots y_{p0}$  – значения искомых функций в узлах  
 $x_1 \ y_{11} \dots y_{p1}$  сетки (при  $t = 2$ );  
 $\dots$   
 $x_m \ y_{1m} \dots y_{pm}$   
 $\varepsilon$  – СКО (если известно аналитическое решение).

## 9 РЕШЕНИЕ ЛИНЕЙНЫХ ИНТЕГРАЛЬНЫХ УРАВНЕНИЙ

Опять же, нет необходимости обосновывать очевидную потребность в численных методах решения уравнений. В данной лабораторной работе будем рассматривать уравнения, содержащие интегралы. Ограничимся случаем, когда неизвестная функция входит в интеграл линейно, т.е. классом линейных интегральных уравнений (ЛИУ).

Уравнение вида

$$\int_a^b K(x, s) \cdot y(s) ds = f(x) \quad (9.1)$$

называется ЛИУ Фредгольма 1-го рода. Здесь  $f(x)$  – правая часть,  $x$  принадлежит некоторому интервалу  $[c, d]$ ;  $y(s)$  – искомая функция,  $s$  принадлежит некоторому интервалу  $[a, b]$ ;  $K(x, s)$  – ядро уравнения, заданное на прямоугольнике  $[a \leq s \leq b, c \leq x \leq d]$ .

Уравнение вида

$$y(x) - \lambda \int_a^b K(x, s) \cdot y(s) ds = f(x) \quad (9.2)$$

называют ЛИУ Фредгольма 2-го рода. Здесь  $\lambda$  – некоторая константа, а  $x$  и  $s$  заданы на одинаковом интервале  $[a, b]$ . Соответственно, ядро задано на квадрате  $[a \leq s \leq b, a \leq x \leq b]$ .

### 9.1 МЕТОДЫ РЕШЕНИЯ

Будем решать ЛИУ Фредгольма 1-го и 2-го рода, применяя в каждом случае методы последовательных приближений и дискретизации.

### 9.1.1 МЕТОД ПОСЛЕДОВАТЕЛЬНЫХ ПРИБЛИЖЕНИЙ

Предположим, что решение ЛИУ Фредгольма 2-го рода (9.2) можно представить в виде

$$y(x) = \sum_{i=0}^{\infty} \lambda^i \varphi_i(x), \quad (9.3)$$

$$\begin{cases} \varphi_0 = f(x), \\ \varphi_i = \int_a^b K(x, s) \cdot \varphi_{i-1}(s) ds, \quad i = 1, 2, \dots \end{cases} \quad (9.4)$$

Если

$$|\lambda| < \frac{1}{M(b-a)}, \quad M = \max_{a \leq x, s \leq b} |K(x, s)|, \quad (9.5)$$

то ряд (9.3) сходится.

Т.к. мы не можем численно вычислить сумму бесконечного ряда, ограничимся  $m$  его членами:

$$y(x) \approx y_m(x) = \sum_{i=0}^m \lambda^i \varphi_i(x). \quad (9.6)$$

Параметр  $m$  подбирается таким образом, чтобы погрешность формулы (9.6) не превышала заранее заданной величины  $\varepsilon$ . Погрешность формулы (9.6) определяется выражением

$$\varepsilon^* = N \frac{(M(b-a) \cdot |\lambda|)^m}{1 - M(b-a) \cdot |\lambda|}, \quad N = \max_{a \leq x \leq b} |f(x)|. \quad (9.7)$$

### 9.1.2 МЕТОД ДИСКРЕТИЗАЦИИ

Введем сетку по переменным  $x$  и  $s$ :

$$\begin{cases} a = x_0 < x_1 < \dots < x_n = b \\ a = s_0 < s_1 < \dots < s_n = b \end{cases} \Rightarrow$$

$$\int_a^b K(x_i, s) \cdot y(s) ds = \sum_{j=0}^n A_j K_{ij} y_j, \quad (9.8)$$

$$K_{ij} = K(x_i, s_j), \quad y_j = y(s_j).$$

Здесь  $A_j$  – квадратурные коэффициенты. Тогда вместо (9.2) получим СЛАУ

$$\sum_{j=0}^n (e_{ij} - \lambda A_j K_{ij}) y_j = f_i, \quad f_i = f(x_i), \quad (9.9)$$

или, в матричном виде,

$$By = f, \quad B = E - \lambda KA. \quad (9.10)$$

### 9.1.3 РЕШЕНИЕ ЛИУ ПЕРВОГО РОДА

В общем случае, ЛИУ Фредгольма 1-го рода можно свести ко 2-му роду, тогда вместо (9.1) получим

$$\begin{cases} \alpha \cdot y(x) + \int_a^b \tilde{K}(x, s) \cdot y(s) ds = \tilde{f}(x), \\ \tilde{K}(x, s) = \int_c^d K(t, x) \cdot K(t, s) dt, \\ \tilde{f}(x) = \int_c^d K(t, x) \cdot f(t) dt. \end{cases} \quad (9.11)$$

Очевидно, что модифицированное ядро задано уже на квадрате  $[a \leq s \leq b, a \leq x \leq b]$ , как и ядро уравнения (9.2). Далее задача решается рассмотренными выше методами. Остается единственная проблема – поиск положительного параметра  $\alpha$ . Для этого оценим невязку решения ЛИУ:

$$\varepsilon^* = \sqrt{\int_c^d \left[ f(x) - \int_a^b K(x, s) \cdot y_\alpha(s) ds \right]^2 dx}. \quad (9.12)$$

Если полученная невязка удовлетворяет заданной погрешности, то считаем задачу решенной. Таким образом,



решаем задачу (9.11) при различных значениях  $\alpha$ , пока очередное решение  $y_\alpha(x)$  не станет достаточно точным.

Для простоты положим  $c = a$  и  $d = b$ .

## 9.2 ФОРМАТ ВХОДНЫХ ДАННЫХ

Формат входного файла:

- q           – тип ЛИУ;
- p           – метод решения (в порядке их перечисления в п. 9.1);
- a b         – отрезок, на котором заданы переменные  $x$  и  $s$ ;
- K(x, s)    – ядро ЛИУ;
- f(x)        – правая часть ЛИУ;
- $\lambda$       – параметр ЛИУ (при  $q = 2$ );
- n           – количество интервалов, на которое разбиваются отрезки;
- $\varepsilon$       – требуемая точность решения (если выбран метод последовательных приближений).
- a           – любой символ или строка, сообщающая, известно или нет точное аналитическое решение  $y(x)$ ;
- y           – точное аналитическое решение  $y(x)$  (если оно известно).

## 9.3 ФОРМАТ ВЫХОДНЫХ ДАННЫХ

Формат выходного файла:

- $x_0$   $y_0$     – значения искомой функции в узлах сетки;
- $x_1$   $y_1$
- ...
- $x_n$   $y_n$

$\varepsilon$  – СКО (если известно аналитическое решение).

## СПИСОК ЛИТЕРАТУРЫ

1. Мицель, А. А. Вычислительные методы: учебное пособие / А. А. Мицель. – Томск : В-Спектр, 2010. – 264 с.
2. Мицель, А. А. Вычислительные методы: учебное пособие / А. А. Мицель. – Томск : Эль Контент, 2013. – 198 с.
3. Мицель, А. А. Практикум по численным методам / Мицель А. А. – Томск : ТУСУР, 2004. – 196 с.
4. Бахвалов, Н. С. Численные методы / Н. С. Бахвалов, Н. П. Жидков, Г. М. Кобельков. – Москва : БИНОМ. Лаборатория знаний, 2006. – 636 с.
5. Образовательный стандарт вуза ОС ТУСУР 01-2021. Работы студенческие по направлениям подготовки и специальностям технического профиля. Общие требования и правила оформления [Электронный ресурс]: база нормативных документов ТУСУР. – Томск : ТУСУР, 2021. – 52 с. URL: <https://regulations.tusur.ru/documents/70>.
6. Положение о проверке самостоятельности выполнения письменных работ бакалавров, специалистов и магистров в ТУСУР [Электронный ресурс]: база нормативных документов ТУСУР. – Томск : ТУСУР, 2016. – 10 с. URL: <https://regulations.tusur.ru/documents/81>.

# ПРИЛОЖЕНИЕ А

## ДОПОЛНИТЕЛЬНЫЕ МАТЕРИАЛЫ

### А.1. ПОРЯДОК ВЫПОЛНЕНИЯ И СДАЧА РАБОТЫ

Выполнение и сдача лабораторных работ состоит из следующих шагов:

1. Изучение теоретического и практического материала по теме работы. Изучение материала происходит во время лекционных занятий, а также при самостоятельном изучении методических материалов [1-3].

2. Разработка и защита программной части лабораторной работы. Защита заключается, во-первых, в демонстрации того, что входные и выходные данные программы соответствуют оговоренному формату и результаты вычислений корректны. Во-вторых, проверяется степень владения исходным кодом программы. Могут быть заданы вопросы по некоторым частям программы, либо будет предложено внести в программу некоторые модификации.

3. Написание и защита отчета по лабораторной работе. Требования к структуре отчета приведены ниже. Оформляется отчет согласно требованиям образовательного стандарта ОС ТУСУР [5]. Защита отчета заключается в демонстрации владения теоретическим материалом (знание и вывод формул, доказательство утверждений и т.п.).

Согласно принятому положению о проверке самостоятельности выполнения письменных работ бакалавров [6], лабораторная работа выполняется студентом самостоятельно, без заимствования чужого кода.

На выполнение каждой работы отводится две недели (на некоторые, более сложные – месяц). Защищать работы

не обязательно в том порядке, в котором они перечислены. Если к моменту защиты уже получены задания, например, на лабораторные работы №1, №2 и №3, то защищать можно любую из них.

Для тестирования программ можно использовать примеры из [2-4]. Для изучения **краткой** теории изданы учебные пособия [1-2]. Краткой – потому что для полного понимания изучаемых методов информации, полученной из учебных пособий, может оказаться недостаточно. Для получения более подробной информации необходимо изучать дополнительные литературные источники по численным методам.

## **А.2 ВХОДНЫЕ И ВЫХОДНЫЕ ДАННЫЕ ПРОГРАММ**

Для удобства тестирования, все входные данные для программ должны находиться в текстовых файлах. Обычно файл с входными данными имеет имя «input.txt», а файл с выходными данными – «output.txt», но имена можно варьировать. Формат таких файлов для каждой лабораторной работы оговорен в задании (см. п. 2.1–2.9). При разработке программ с графическим интерфейсом или веб-интерфейсом допускается реализовать ввод данных через графические элементы управления.

Основными типом входных данных программ являются числа (целые и вещественные), а также функции, заданные в аналитическом виде (т.е. строки).

### **А.2.1 ФОРМАТИРОВАНИЕ ЧИСЕЛ И СТРОК**

Рассмотрим работу с числами. Для чтения чисел из текстового файла используются стандартные процедуры или операторы ввода:

```

read(f, x); { Pascal }
fscanf(f, format, &x); // C
f >> x; // C++
x = type.Parse(f.ReadLine()); // C#

```

При этом файловая переменная *f* должна быть связана с входным файлом, а указатель в файле должен находиться перед считываемым числом. В языке Pascal эта связь создается последовательным вызовом функций `Assign` и `Reset`, а в C – `fopen` (библиотека `stdio.h`). В языке C++ переменная *f* должна являться экземпляром класса `ifstream` (библиотека `fstream.h`) и связывается с файлом либо при вызове конструктора класса, либо при помощи метода `open`. Тип переменной *x* должен соответствовать типу считываемого числа. При этом все разделители (пробелы, табуляции, переносы строки) пропускаются автоматически. В языке C тип числа задается явным способом – при помощи текстового параметра `format`. Для целого числа это обычно «%d» (`int`) или «%ld» (`long`), для вещественного числа – «%f» (`float`) или «%lf» (`double`). Переменная в этом случае передается в функцию по адресу. Как именно формируется адрес – не важно. Например, адрес ячейки с номером *i* в массиве-векторе *a* можно записать как `a + i`, что эквивалентно `&a[i]` (следовательно, `&a[0]` эквивалентно просто `a`).

Несколько отличается подход, принятый в языке C#. В этом языке существует множество способов считать текстовый файл (статические методы `File.ReadAllLines`, `File.ReadAllText`, `File.ReadLines` статического же класса `System.IO.File`, метод `ReadLine` класса `System.IO.File`, метод `ReadLine` класса `System.IO.StreamReader` и т.д.). Но все данные считыва-

ются только как строки, которые затем необходимо конвертировать в нужный тип либо вызовом метода `Parse` или `TryParse`, использовать класс `System.Convert` и т.д. При этом, если в строке находилось не одно значение, а несколько, предварительно эту строку необходимо разбить на массив строк, используя метод `Split` строки (типа `string` или класса `System.String`).

Для записи чисел в текстовый файл используются стандартные процедуры или операторы вывода:

```
write(f, x); { Pascal }
fprintf(f, format, x); // C
f << x; // C++
f.Write(x); // C#
```

Файловая переменная `f` должна быть связана с выходным файлом. В языке `Pascal` эта связь создается последовательным вызовом функций `Assign` и `Rewrite`, а в `C` – также `fopen`. В языке `C++` переменная `f` должна являться экземпляром класса `ofstream` (библиотека `fstream.h`) и связывается с файлом либо при вызове конструктора класса, либо при помощи метода `open`. В языке `C#`, опять же, имеется много способов записи текстовых данных в файл (методы `File.WriteAllLines` и `File.WriteAllText` класса `System.IO.File`, методы `WriteLine` и `Write` класса `System.IO.StreamWriter` и т.д.).

При этом вывод можно форматировать. Так, в языке `Pascal` для форматирования чисел при выводе используется запись `x:n`, где `n` – количество позиций для вывода числа. Лишние позиции (не занятые цифрами числа) заполняются пробелами. Это удобно использовать при выводе матриц. Для вещественных чисел можно задавать дополнительный

параметр форматирования:  $x:n:m$ , где  $m$  – количество десятичных знаков после запятой.

Функции семейства `printf` языка C обладают более гибкими возможностями форматирования вывода. Во-первых, поддерживается множество форматов вещественных чисел:

- с фиксированной точкой (`%f`);
- с плавающей точкой, или экспоненциальный (`%e`) – числа выводятся всегда с экспонентой;
- основной (`%g`) – автоматически подбирает максимально удобный вид числа.

Во-вторых, позволяют задавать ширину поля – `%nz`, `%n.mz` ( $n$  и  $m$  имеют тот же смысл, что и в Pascal,  $z$  – требуемый формат). Если использовать запись `%0nz` или `%0n.mz`, то неиспользуемые позиции слева заполнятся нулями. Если использовать знак «минус» (`%-nz` или `%-n.mz`), то выравнивание происходит не по правой, а по левой границе поля.

В языке C++ существуют процедуры и манипуляторы для форматирования вывода (`setw`, `setprecision`, `ios::flags`, `ios::setf`, `ios::unsetf`, `ios::width`, `ios::fill`, `ios::precision` и многие другие). Манипуляторы `setw` и `setprecision` определены в библиотеке `iomanip.h`, а класс `ios` – в библиотеке `iostream.h`. Все классы потокового ввода-вывода являются его наследниками. В случае необходимости, можно также записать число в требуемом формате в строку процедурой `sprintf` (или используя класс `std::stringstream`) а затем уже получившуюся строку подать на выход. Для выравнивания значения по левой или правой границе поля используются



манипуляторы `left` и `right`, или соответствующие флаги метода `ios::setf`.

В языке C# форматирование можно осуществлять разными способами:

```
x.ToString("zm");  
String.Format("{0,n:zm}", x);  
${x,n:zm}";  
f.Write("{0,n:zm}", x);  
f.WriteLine($"{x,n:zm}");
```

и т.д. В первых трех случаях получаем строку, которую потом можно записать в файл или использовать другим образом. В двух последних случаях строка сразу пишется в файл. По аналогии с предыдущими примерами, здесь `z` – какой-то формат (например, `f`, `e` или `g` – их смысл тот же, что и в языке C/C++), `n` – ширина поля, `m` – точность.

Похожим образом обстоит дело и со строками. При чтении строк посредством функции `fscanf` языка C нужно только помнить, что строковая переменная сама по себе является указателем на область памяти, в которой расположены символы строки, поэтому применение операции извлечения адреса не требуется. Поэтому и объявляться строка должна так же, как массив-вектор. Например:

```
char s1[20];  
char s2[] = "qwerty";  
char *s3;  
char *s4 = "error!";
```

В первом случае создается строка на 20 символов, во втором – требуемое количество символов подсчитывается компилятором. В данном случае это 7 (добавляется символ конца строки). Эту запись можно представить в том виде, в котором инициализируются числовые массивы:

```
char s2[] = {'q', 'w', 'e', 'r', 't',  
            'y', '\\0'};
```

В третьем случае строка не создается, объявляется только указатель. Если мы хотим в эту строку что-либо поместить, то нужно предварительно выделить память, а после того, как надобность в ней отпадает, освободить:

```
s3 = new char [20];  
// используем s3  
delete [] s3;
```

Квадратные скобки явно указывают компилятору на то, что удаляется именно массив. В четвертом случае память не выделена, поэтому приведенная запись ошибочна. Происходит попытка занести данные по неинициализированному указателю.

В других языках такой проблемы нет. Так, в языке Pascal тип `string` является не массивом, а встроенным типом языка. В языке C++ имеется специальный класс для работы со строками – `std::string`. В языке C# также имеется такой класс, его имя – `String` (соответствующее ему ключевое слово языка – `string`).

При чтении строки, содержащей пробелы, важно учитывать следующее. Язык Pascal считает разделителем строк символ перевода строки, а языки C/C++ по умолчанию – символ пробела. Поэтому нужно грамотно использовать функции `read` и `readln` в языке Pascal, чтобы не считать пустую строку (если указатель в файле находился в конце предыдущей строки). А в языках C/C++ использовать ограничители ввода, если строка может содержать пробелы. Например, формат «`%[^\n]s`» позволит прочесть строку, остановившись на символе конца строки (`\n`). В языке C++ для этого существует функция `getline`. В языке C#,

как уже отмечалось выше, используется другой подход, и разбивать строку на подстроки в любом случае необходимо самостоятельно.

При выводе строк действуют практически те же правила форматирования, что и при выводе целых чисел. Т.е. используется запись `write(f, s:n)` в Pascal или формат `%ns` в C для вывода строки в поле фиксированной ширины. Кроме того, в C можно использовать формат `%-ns`, тогда строка выравнивается (по аналогии с выводом числа) по левому, а не правому краю поля. В языке C++, аналогично, используется манипулятор `setw` или метод `ios::width`. В языке C# – указание ширины поля при форматировании строки.

Для более подробной информации изучайте справочные системы используемого языка программирования.

#### **A.2.2 РАБОТА С ФУНКЦИЯМИ, ЗАДАНЫМИ В АНАЛИТИЧЕСКОМ ВИДЕ**

Функции, заданные в аналитическом виде, представляют собой текстовые строки, содержащие:

- математические операции (сложение, вычитание, умножение, деление, возведение в степень);
- функции (`sin`, `cos`, `tg`, `ctg`, `exp`, `ln`, `lg`);
- константы (числовые, `pi`, `e`);
- унарный плюс и минус;
- неизвестные переменные (`x` – если переменная является скаляром и `x1`, `x2`, ..., `xn` – если вектором длиной `n`);
- круглые скобки.

Для вычисления функций предоставляется специальная библиотека `PolStr`.

Для языка Pascal она включает модули PolStr.tpu и PolUtils.pas. Второй модуль используется в качестве интерфейса, т.к. заголовочных файлов Pascal не имеет. В файле useps.pas (папка Sample) находится пример программы, использующей данный модуль. Для Delphi она включает модули PolStr.dcu и PolUtils.pas. Соответственно, в папке Sample имеется пример проекта UsePS.dpr. Как в Borland Pascal, так и в Borland Delphi, для использования дополнительного модуля достаточно подключить его к главному при помощи директивы uses.

Для языков C/C++ имеется несколько вариантов организации данной библиотеки:

1. Заголовочный и объектный файлы (PolStr.h и PolStr.obj). Для их использования в рамках среды программирования Borland C++ необходимо создать новый проект и включить в него модуль с программой, реализующей задание по лабораторной работе и два перечисленных выше файла. Для примера, в указанной директории помещен проект PS.rgj, который включает в себя главный модуль UsePS.cpp и файлы PolStr.h и PolStr.obj. Также имеются отдельные версии заголовочного и объектного файла для сред разработки Borland C++ Builder (проект UsePS.bpr с примером находится в папке sample) и различных версий Visual Studio (причем начиная с Visual Studio 2013, в двух форматах – x86 и x64). Кроме того, имеются версии для компиляторов GCC (аналогично, для режимов x86 и x64), объектный файл в этом случае называется PolStr.o. Формат объектного файла у каждого компилятора отличается, поэтому важно использовать правильную версию файла для успешной сборки проекта.

2. Заголовочный файл и статическая библиотека (библиотека со статической линковкой). Для компиляторов Visual Studio, начиная с версии 2013 – это пара файлов PolStr.h и PolStr.lib, для компиляторов GCC – PolStr.h и PolStr.a. Теоретически, формат статической библиотеки для того или иного компилятора является универсальным, но на практике иногда библиотека, скомпилированная в одной версии компилятора, не собирается в проекте с другим компилятором (особенно это касается Visual Studio).

3. Заголовочный файл и динамическая библиотека – это пара файлов PolStr.h и PolStr.dll. Вообще, для динамической библиотеки заголовочный файл не обязателен, ее функции можно вызывать напрямую. Но представленный заголовочный файл делает этот процесс удобнее. Формат файлов dll является универсальным, и должен подходить для любого компилятора, который умеет с ним работать, и любого языка программирования.

В целом, для Visual Studio представлены по 12 вариантов поставки библиотеки для каждой версии, начиная с 2013, которые отличаются по формату (obj, lib или dll), разрядности (x86 или x64) и конфигурации сборки (debug или release). Для GCC вариантов 8 – obj или lib, x86 или x64. Для каждого варианта имеется проект с примером использования библиотеки.

Для языка C# представлен только один вариант – в виде управляемой динамической библиотеки. Пример ее использования, традиционно, находится в папке Sample. Управляемая динамическая библиотека представляет собой сборку .NET, и не совместима с классическими неуправля-

емыми DLL. Т.е. в С# (и других приложениях .NET) классические DLL использовать можно, а вот использование управляемых сборок в программах на языках, не использующих .NET, является нетривиальной задачей.

Указанные файлы находятся на сетевом диске в директории R:\Romanenko\BM, а также в электронном курсе по дисциплине.

### А.2.3 ИСПОЛЬЗОВАНИЕ СТАНДАРТНЫХ ПОТОКОВ ВВОДА-ВЫВОДА

Чаще всего, при тестировании консольной программы удобно, когда данные (все или некоторые) вводятся с клавиатуры, а выводятся, соответственно, на консоль. В финальной же версии консольной программы ввод и вывод традиционно осуществляется через файлы. Поэтому необходимо максимально упростить переключение программы из режима консольного ввода-вывода в режим файлового ввода-вывода и обратно.

В языке Pascal это достигается использованием файловых переменных `input` и `output`. Они соответствуют стандартным виртуальным файлам, отвечающим за ввод и вывод. По умолчанию ввод осуществляется с клавиатуры, а вывод – на консоль. Т.е., следующие записи эквивалентны:

```
write(output, ...) ≡ write(...)
read(input, ...) ≡ read(...)
```

Поэтому весь ввод и вывод в программе можно осуществлять функциями `read/readln` и `write/writeln` без указания файловой переменной. Когда нужно для ввода и вывода использовать файлы, то достаточно связать с требуемыми файлами переменные `input` и `output`. Когда такая

надобность отпадает, то это связывание помещается в комментарий. Либо наоборот – можно в коде использовать функции `read/readln` и `write/writeln` с указанием файловых переменных. Соответственно, когда нужно для ввода и вывода использовать файлы, эти переменные связываются с требуемыми файлами, а если консоль – необходимо этим переменным присвоить `input` и `output` соответственно.

В языке C стандартные файловые переменные `stdin` и `stdout` защищены от изменения. Поэтому, например, вывод в программе можно осуществлять при помощи функции `fprintf` в некоторый файл `f`. Когда необходимо осуществить вывод в файл, то переменная `f` связывается с требуемым файлом. Когда на консоль – присвоить этой файловой переменной значение `stdout`. Аналогично для ввода. Другой вариант – использование функции `freopen`, которая позволяет связать имеющиеся файловые переменные, в том числе `stdin` и `stdout`, с каким-либо файлом на диске.

Достаточно просто это можно проделать и в C++. В некоторых классах ввода-вывода (`istream_withassign`, `ostream_withassign` и `iostream_withassign`) переопределена операция присвоения. Стандартный ввод осуществляется через `cin` (это определенный в библиотеке `iostream.h` экземпляр класса `istream_withassign`), вывод – через `cout` (экземпляр `ostream_withassign`). Поэтому достаточно присвоить переменным `cin` и `cout` экземпляры классов файлового ввода и вывода соответственно (например, `cin = f`, где `f` – экземпляр класса `ifstream`, связанный с входным файлом). Когда необходимо перейти в режим тестирования, достаточно поместить

в комментарий создание экземпляра класса `f` и указанное присвоение.

Похожий подход используется в языке C#. Чтобы методы `Console.Read`, `Console.Write` и т.п. начали работать не с консолью, а файлом на диске, необходимо использовать методы `Console.SetIn` и `Console.SetOut`, которым в качестве параметров передать экземпляры файловых переменных (например, типа `System.IO.StreamReader` и `System.IO.StreamWriter` соответственно). И, наоборот, чтобы через файловую переменную осуществлять ввод с консоли, ей необходимо присвоить ссылку `Console.In` (это аналог `input/stdin`), а для ввода – соответственно, ссылку `Console.Out` (аналог `output/stdout`).

#### А.2.4 РЕЗУЛЬТАТЫ ВЫЧИСЛЕНИЙ. ПОГРЕШНОСТЬ

Если говорить о приближенных числах, то ошибочно было бы считать, что, например,  $1.00 = 1$ . Приближенное число  $1.00$  соответствует точному числу в диапазоне от  $0.995$  до  $1.005$ , тогда как  $1$  – от  $0.5$  до  $1.5$ . При этом первое число указано с точностью в три десятичных знака, а второе – в один знак.

Следовательно, если при решении задачи численным методом задана погрешность, то ответ должен быть записан так, чтобы было видно, что решение в данную погрешность укладывается. К примеру, если для результата указана абсолютная погрешность  $\varepsilon = 0.001$ , то результат должен быть представлен в виде  $2.912$ ,  $0.100$  и т.д., но не  $4$  или  $0.52$ . Зная абсолютную погрешность, можно определить количество знаков после запятой для вывода результата:

$$N = -\lg \varepsilon. \quad (\text{A.1})$$



Предполагается, что  $0 < \varepsilon < 1$ . Если число  $N$  получается нецелым, то оно округляется до большего целого числа. Затем  $N$  используется для форматирования результата.

Если задана относительная погрешность  $\delta$ , то для определения  $N$  можно воспользоваться следующей формулой [1]:

$$N = 1 - \lg(a_m \cdot \delta), \quad (\text{A.2})$$

где  $a_m$  – первая значащая цифра результата.

Далее, все результаты лабораторных работ требуют проверки. Т.е., помимо самого результата, в выходном файле необходимо поместить доказательство того, что результат верный. Обычно доказательством является тот факт, что абсолютная или относительная погрешность решения меньше заданной погрешности, либо что она близка к нулю. Как именно определяется погрешность решения для каждой лабораторной работы, пояснялось выше.

В зависимости от типа результата, погрешность (*невязка*) может являться скаляром, вектором либо матрицей. При выводе погрешности в файл необходимо использовать научный формат (т.е.  $\pm X.XXXXXE\pm XX$ , другое название – экспоненциальный), чтобы, по возможности, **избежать** округлений. Иначе вместо числа  $-1.12E-15$  ( $-1.12 \cdot 10^{-15}$ ), представленного в формате с фиксированной точкой, на консоли увидим малоинформативную надпись « $-0.000$ », ничего не говорящую о порядке погрешности.

Если  $x$  – это результат вычислений, а  $y$  – точный ответ, то невязка вычисляется по формуле

$$\varepsilon = x - y. \quad (\text{A.3})$$

Для получения дополнительной информации о погрешности (невязке), представленной в виде матрицы  $\varepsilon^A$

размерности  $n \times m$  или вектора  $\varepsilon^b$  размерности  $n$  используется норма [1]. Чаще всего она определяется так:

$$\|\varepsilon^A\| = \sqrt{\sum_{i=1}^n \sum_{j=1}^m (\varepsilon_{ij}^A)^2}, \quad \|\varepsilon^b\| = \sqrt{\sum_{i=1}^n (\varepsilon_i^b)^2}. \quad (\text{A.4})$$

Для скалярной величины  $s$  понятие нормы является аналогичным понятию модуля, т.е.

$$\|\varepsilon^s\| = |\varepsilon^s|. \quad (\text{A.5})$$

В качестве меры отклонения двух величин друг от друга также используется *среднеквадратичное отклонение* (СКО). Для матриц  $A$  и  $B$  размерности  $n \times m$  и векторов  $a$  и  $b$  размерности  $n$  СКО определяется следующим образом:

$$S_{AB} = \frac{1}{nm} \sqrt{\sum_{i=1}^n \sum_{j=1}^m (A_{ij} - B_{ij})^2}, \quad (\text{A.6})$$

$$S_{ab} = \frac{1}{n} \sqrt{\sum_{i=1}^n (a_i - b_i)^2}.$$

Очевидно, что для скалярных величин  $x$  и  $y$

$$S_{xy} = \frac{1}{1} \sqrt{(x - y)^2} = |x - y|. \quad (\text{A.7})$$

Видно, что СКО – это норма невязки, дополнительно нормированная на количество элементов исследуемого объекта, т.е.

$$S_{AB} = \frac{\|\varepsilon^{A-B}\|}{nm}, \quad S_{ab} = \frac{\|\varepsilon^{a-b}\|}{n}, \quad S_{xy} = \|\varepsilon^{x-y}\|. \quad (\text{A.8})$$

### А.3 ТРЕБОВАНИЯ К СТРУКТУРЕ ОТЧЕТА

Отчет должен включать следующие элементы:

1. Титульный лист. Образец титульного листа приведен в приложении Б.
2. Оглавление.

3. Задание на лабораторную работу.
4. Краткую теорию. То есть здесь не требуется подробное описание реализуемых методов, достаточно привести и пояснить все формулы, которые использовались при написании программы.
5. Результаты работы. Результаты могут включать описание разработанной программы или ее алгоритма, результаты тестовых запусков и т.п.
6. Заключение.
7. Список использованных источников.
8. Приложение с листингом программы.

**ПРИЛОЖЕНИЕ Б**  
**ОБРАЗЕЦ ОФОРМЛЕНИЯ ТИТУЛЬНОГО ЛИСТА**  
**ОТЧЕТА**

Министерство науки и высшего образования  
Российской Федерации

Федеральное государственное бюджетное образовательное  
учреждение высшего образования  
**ТОМСКИЙ ГОСУДАРСТВЕННЫЙ УНИВЕРСИТЕТ**  
**СИСТЕМ УПРАВЛЕНИЯ И РАДИОЭЛЕКТРОНИКИ**  
**(ТУСУР)**

Кафедра автоматизированных систем управления (АСУ)

**ТЕМА РАБОТЫ**

Отчет по лабораторной работе №\_\_ по дисциплине  
«Численные методы»

Выполнил: студент гр. \_\_\_\_\_  
\_\_\_\_\_ И. О. Фамилия  
«\_\_» \_\_\_\_\_ 20\_\_ г.

Проверил: \_\_\_\_\_  
\_\_\_\_\_ И. О. Фамилия  
«\_\_» \_\_\_\_\_ 20\_\_ г.

Томск 20\_\_